

**T.C.
HARRAN ÜNİVERSİTESİ
FEN BİLİMLERİ ENSTİTÜSÜ**

YÜKSEK LİSANS TEZİ

**ASKORBİK ASİT VE ÜRİK ASİT VARLIĞINDA DOPAMİNE’NİN
KARBON NANOTÜP TEMELLİ VOLTAMMETRİK SENSÖRLERLE
TAYİNİ**

Sonay DAĞDEVİREN

KİMYA ANABİLİM DALI

**ŞANLIURFA
2011**

**T.C.
HARRAN ÜNİVERSİTESİ
FEN BİLİMLERİ ENSTİTÜSÜ**

YÜKSEK LİSANS TEZİ

**ASKORBİK ASİT VE ÜRİK ASİT VARLIĞINDA DOPAMİNE'NİN
KARBON NANOTÜP TEMELLİ VOLTAMMETRİK SENSÖRLERLE
TAYİNİ**

Sonay DAĞDEVİREN

KİMYA ANABİLİM DALI

**ŞANLIURFA
2011**

Prof. Dr. Mehmet ASLANOĞLU'nun danışmanlığında, Sonay DAĞDEVİREN'in hazırladığı " Askorbik Asit ve Ürik Asit Varlığında Dopamine'nin Karbon Nanotüp Temelli Voltammetrik Sensörlerle Tayini " konulu çalışma 12/09/2011 tarihinde aşağıdaki jüri tarafından Fen Bilimleri Enstitüsü Kimya Anabilim Dalı Yüksek Lisans Tezi olarak kabul edilmiştir.

Danışman : Prof. Dr. Mehmet ASLANOĞLU

Üye : Yrd. Doç. Dr. Sıtkı BAYTAK

Üye : Yrd. Doç. Dr. A. İhsan ÖZTÜRK

Bu Tezin Kimya Anabilim Dalında Yapıldığını ve Enstitümüz Kurallarına Göre Düzenlendiğini Onaylarım.

Prof. Dr. Mehmet CİCİ
Enstitü Müdürü

Not: Bu tezde kullanılan özgün ve başka kaynaktan yapılan bildirimlerin, çizelge, şekil ve fotoğrafların kaynak gösterilmeden kullanımı, 5846 sayılı Fikir ve Sanat Eserleri Kanunundaki hükümlere tabidir.

İÇİNDEKİLER

Sayfa No

ÖZ.....	i
ABSTRACT	ii
TEŞEKKÜR.....	iii
ŞEKİLLER DİZİNİ.....	iv
ÇİZELGELER DİZİNİ.....	v
SİMGELER DİZİNİ.....	vi
1. GİRİŞ.....	1
2. ÖNCEKİ ÇALIŞMALAR.....	3
2.1. Kimyasal Sensör Kavramı.....	5
2.2 Modifiye Elektrotlar.....	5
2.2.1 İletken Polimerler.....	5
2.2.2 Elektrot Kaplanması.....	8
2.2.3 Elektrokimyasal Polimerleştirme.....	9
2.2.4 Karbon Nanotüpler.....	9
2.3 Voltametri.....	10
2.3.1 Dönüşümlü Voltametri.....	13
2.3.2 Voltametrde hücre Kurulumu ve Elektrotlar	15
2.4 Saptama Sınırının Hesaplanması.....	15
3. MATERYAL VE YÖNTEM.....	17
3.1. Materyal.....	17
3.2 Yöntem.....	17
3.2.1 Karbon nanotüp ve Poly(furan_3_karboksilik asit) ile modifiye edilen camı karbon elektrodun (GCE) hazırlanması.....	17
3.2.2 Modifiye edilen GCE'lerin saklanması.....	18
4. ARAŞTIRMA BULGULARI VE TARTIŞMA.....	19
4.1. Poly(furan_3_karboksilik asit)/CNTs /GCE yüzeyinde AA ve UA varlığında DA Tayini.....	19
4.1.1 Dopamin'in yalın GCE ve poly(furan_3_karboksilik asit)/CNTs /GCE yüzeylerindeki voltametrik davranışı.....	19
4.1.2 Tarama Hızının DA'nın pik potansiyeli ve pik akımına etkisi.....	20
4.1.3 pH'nın DA'nın pik potansiyeline etkisi.....	22
4.1.4 poly (furan_3_karboksilik asit) /CNTs /GCE yüzeyinde DA'nın saptanması.....	23
4.1.5 DA'nın AA. Varlığında yalın GCE ve poly (furan_3_karboksilik asit) /CNTs /GCE yüzeyinde saptanması.....	24
4.1.6 Sabit AA. Varlığında DA'nın poly(furan_3_karboksilik asit) /CNTs/ GCE yüzeyinde saptanması.....	27
4.1.7 DA'nın AA ve UA varlığında yalın GCE ve poly(furan_3_karboksilik asit) /CNTs/GCE yüzeyinde saptanması.....	29
4.1.8 Sabit AA ve UA konsantrasyonu varlığında yalın GCE ve poly(furan_3_karboksilik asit)/CNTs /GCE yüzeyinde saptanması.....	30
4.1.9 Poly(furan_3_karboksilik asit)/GCE'nin gerçek numunelerinde analitik uygulaması.....	31
5. SONUÇLAR VE ÖNERİLER.....	33
5.1 SONUÇLAR.....	33
KAYNAKLAR.....	35
ÖZGEÇMİŞ.....	39
ÖZET.....	40
SUMMARY.....	41

ÖZ

Yüksek Lisans Tezi

ASKORBİK ASİT VE ÜRİK ASİT VARLIĞINDA DOPAMİNE'NİN KARBON NANOTÜP TEMELLİ VOLTAMMETRİK SENSÖRLERLE TAYİNİ

Sonay DAĞDEVİREN

Harran Üniversitesi
Fen Bilimleri Enstitüsü
Kimya Anabilim Dalı

Danışman: Prof. Dr. Mehmet ASLANOĞLU

Yıl: 2011, Sayfa:41

Bu çalışmada, poly (furan-3-karboksilik asit) ve çok duvarlı karbon nanotüplerle modifiye edilmiş camısı karbon elektrotlar kullanılarak ilaç örneklerinde bulunan dopaminin ürik asit ve askorbik asit varlığında hızlı, güvenilir ve duyarlı bir şekilde saptanması için bir elektronalitik yöntem geliştirilmiştir. Camısı karbon elektrot yüzeyi önce karbon nanotüplerle modifiye edilmiş daha sonra ise elektrot yüzeyi poly (furan-3-karboksilik asit) ile kaplanmıştır. Poly (furan-3-karboksilik asit), furan-3-karboksilik asitin, pH'sı 7.2 olan 0.2 M KCl çözeltisinde elektropolimerizasyonu ile dönüşümlü voltammetri kullanılarak hazırlanmıştır. Hazırlanan poly(furan-3-karboksilik asit)/CNTs/GCE sistemi pH' sı 4.0 olan 0.1 M fosfat tampon çözeltisinde, askorbik asit ve ürik asit varlığında dopaminin saptanmasına uygulanmıştır. Hazırlanan elektrot sistemi ise pH'sı 4.0 olan, 0.1 M PBS' de dopaminin yükseltgenmesinde mükemmel bir elektrokatalitik etki göstermiştir. Ayrıca bu modifiye elektrotlar, türlerin yükseltgenme pik potansiyellerinde katodik yönde önemli bir kayma ve anodik pik akım cevaplarında büyük bir artış göstermiştir. Modifiye elektrot sistemi ilaç örneklerine de başarılı bir şekilde uygulanmıştır. Deneysel sonuçlar, önerilen yöntemlerin güvenilir, tekrarlanabilir ve hızlı olduğunu göstermiştir.

ANAHTAR KELİMELER; Elektrokimyasal analiz, furan-3-karboksilik asit, karbon nanotüp, dopamin, askorbik asit, ürik asit

ABSTRACT

Msc.Thesis

DETERMINATION OF DOPAMINE IN THE PRESENCE OF ASCORBIC ACID AND URIC ACID BY VOLTAMMETRIC SENSORS BASED ON CARBON NANOTUBES

Sonay DAĞDEVİREN

**Harran University
Graduate School of Natural and Applied Sciences
Department of Chemistry**

**Supervisor: Prof. Dr. Mehmet ASLANOĞLU
Year: 2011 , Page:47**

In this study, an electroanalytical method was developed for rapid, reliable and sensitive determination of dopamine in the presence of uric acid and ascorbic acid in pharmaceuticals using poly(furan-3-carboxylic acid) and multi-walled carbon nanotubes modified glassy carbon electrodes. The surface of glassy carbon electrode was first modified with carbon nanotubes then poly (furan-3-carboxylic acid). The poly (furan-3-carboxylic acid) modified glassy carbon electrode was also prepared by the electropolymerization of 3-furoic acid in pH 7.2, 0.2 M KCl solution using cyclic voltammetry. The poly(furan-3-carboxylic acid)/CNTs/GCE system modified electrode was applied for the determination of dopamine in the presence of ascorbic acid and uric acid. In addition, the modified electrodes, showed a remarkable shift of the oxidation potentials of species in the cathodic direction and a drastic enhancement of the anodic peak current response. The modified electrode system has successfully been applied to the pharmaceutical formulations. The results showed that the proposed methods are reliable, reproducible and rapid.

KEYWORDS: Electrochemical analysis, furan-3-carboxylic acid, carbon nanotube, dopamine, ascorbic acid and uric acid

TEŐEKKÜR

Bu alıőmanın her safhasında desteęini esirgemeyen ve bilgi birikimlerini benimle paylaőan ok deęerli hocam ve danıőmanım Sayın Prof. Dr. Mehmet ASLANOęLU' na teőekkürlerimi sunmayı bir bor bilirim.

Ayrıca deneysel alıőlarımda bana yardımcı olan Araő. Gör. Ayőegül KUTLUAY BAYTAK'a ok teőekkür ederim.

Beni her zaman destekleyen ve yanımda olan ok kıymetli anneme ve aileme en içten teőekkürlerimi sunarım.

ŞEKİLLER DİZİNİ

Sayfa No

Şekil 2.1. Voltametri de kullanılan potansiyel uyarma sinyalleri.....	12
Şekil 2.2 Bir dönüşümlü voltomogram.....	13
Şekil 4.1 1.5×10^{-5} M DA'nın yalın GCE ve poly(furan-3-karboksilik asit)/CNTs/GCE yüzeylerindeki dönüşümlü voltomogramları.....	19
Şekil 4.2 0,1M PBS ve pH 4.0 da 1.0×10^{-6} M DA'nın poly(furan-3-karboksilik asit)/CNTs/GCE yüzeyinde farklı tarama hızlarındaki dönüşümlü voltomogramları.....	21
Şekil 4.3. Poly(furan-3-karboksilik asit)/CNTs/GCE yüzeyinde DA'nın pik akımına tarama hızının etkisi.....	22
Şekil 4.4 Poly(furan-3-karboksilik asit)/CNTs/GCE yüzeyinde DA'nın farklı pH lardaki dönüşümlü voltomogramları.....	23
Şekil 4.5 0.1 M PBS ve pH 4.0.da poly(furan-3-karboksilik asit)/CNTs/GCE yüzeyinde DA'nın artan konsantrasyonlarına karşı kare dalga voltametri ile alınan pik akımları grafiği.....	24
Şekil 4.6. 1.5×10^{-5} M AA. ve 2.1×10^{-6} M DA'nın yalın GCE poly(furan-3-karboksilik asit)/CNTs/GCE yüzeylerindeki dönüşümlü voltomogramları.....	25
Şekil 4.7 0.1 M PBS ve Ph 4.0.da poly(furan-3-karboksilik asit)/CNTs/GCE yüzeyinde 5.0×10^{-5} M sabit AA konsantrasyonuna karşı DA'nın artan konsantrasyonlarına ait dönüşümlü voltomogramları.....	27
Şekil 4.8 5.0×10^{-5} M AA ve 1.5×10^{-6} M DA'nın poly(furan-3-karboksilik asit)/CNTs/GCE'de farklı tarama hızlarına ait dönüşümlü voltomogramları.....	28
Şekil 4.9 5.0×10^{-5} AA ve 7.5×10^{-5} M UA'nın yalın GCE,poly(furan-3-karboksilik asit)/CNTs/GCE yüzeyinde dönüşümlü voltomogramları.....	29
Şekil 4.10 Poly(furan-3-karboksilik asit)/CNTs/GCE yüzeyinde 5.0×10^{-5} M ve 7.5×10^{-5} M UA sabit konsantrasyonunda DA'nın artan konsantrasyonlarına ait kare dalga voltomogramları.....	31

ÇİZELGELER DİZİNİ

Sayfa No

Çizelge 4.2. poly(furan_3_karboksilik asit)/GCE sisteminin DA iğnelere uygulanması.....	32
---	----

SİMGELER DİZİNİ

GCE	Karbon Cam Elektrot
DA	Dopamin
CNT	Karbon Nanotüp
PBS	Fosfat Tampon Çözeltisi
AA	Askorbik Asit
UA	Ürik Asit

1. GİRİŞ

Kimyasal olarak [4-(2-aminoethyl) benzen-1,2-diol] diye bilinen dopamin memelilerin beyin dokularında geniş ölçüde salgılanan çok önemli katekolamin maddelerden biridir ve nörotransmitterler ailesinin başlıca üyesidir.

Dopamin, kardiyovasküler fonksiyonlarda, hormonal, renal ve merkezi sinir sisteminde önemli rol oynamaktadır. Örneğin, az salgılanması, çeşitli hastalıklara neden olurken; tourette sendromu, şizofreni, hiperaktivite, dikkat eksikliği ve tümör oluşumu da bu anormal düzeyde salgılanma sonucu meydana gelmektedir.

Biyolojik sistemlerde, dopaminin saptanması birçok hastalığın teşhisinde bilgi vermektedir. Bu konu tıp, biyoloji ve kimya kökenli araştırmacıların geçerli ilgi konularındandır. Özellikle biyoelektro kimyacılar ve elektroanalitik kimyacılar dopaminin saptanması için hızlı ve tekrarlanabilir bir metod geliştirmek için bu alana büyük ilgi göstermektedirler ve çeşitli modifiye elektrotlar tasarlamaktadırlar.

Canlı sistemlerdeki girişimci türlerin varlığı canlılar üzerinde yapılan çalışmalarda dopamin ve serotoninin eş zamanlı olarak saptanmasında karşılaşılan başlıca problemdir. Biyolojik sistemlerde dopamin, askorbik asit ve ürik asit birarada bulunduğundan dopaminin doğru bir şekilde saptanması önemlidir. Bu amaçla, fluorometri, HPLC, elektrokimyasal metodlar, kulometri, kapiler elektroforez, TLC, voltametri, kütle ve fluorescent spektroskopisi gibi çok sayıda metod dopamin konsantrasyonunun diğer girişimci türler varlığında eş zamanlı olarak saptanması için kullanılmaktadır.

Askorbik asit ve ürik asit gibi biyolojik maddelerin yüksek konsantrasyonlarda bulunduğu gerçek numunelerde, elektrokimyasal metodlar ile dopaminin saptanmasında büyük bir engelle karşılaşılmaktadır. Çünkü yalnız elektrotlarda askorbik asit, dopaminin yükseltgendiği potansiyelde girişim yapmaktadır.

Ürik Asit, pürin metabolizmasının son oksidasyon ürünüdür. Ürik asit konsantrasyonundaki önemli değişimler gut, hiperurisemi ve Lesh_Nyhan sendromu gibi ciddi hastalıklara yol açar. Bundan dolayı insan kanındaki veya diğer örneklerdeki ürik asitin doğru saptanması birçok hastalığın teşhisinde önemli bir belirteçtir. Bu yüzden birçok araştırmacı ürik asitin saptanması için doğru, duyarlı ve basit bir yöntem geliştirmeye yönelmişlerdir. Kimyasal modifiye elektrotların kullanımı bu problem için umut verici bir yaklaşımdır.

Basit ve kolay yenilenebilen yüzeyler hazırlamak için çalışma elektrodu olarak yaygın bir şekilde karbon elektrot kullanılmaktadır. Karbon genel olarak kullanılan elektrot materyallerinin aksine biyolojik dokularla daha çok uyumlu olma eğilimi göstermektedir. Lazer aktivasyonu, sıcaklık muamelesi, çeşitli seçici membranlar, polimer filmler gibi elektrot yüzeyinin modifikasyonunu içeren karbon temelli elektrotların seçiciliğini iyileştirmek için çeşitli yollar izlenmektedir. Çünkü özellikle polimer modifiye elektrotlar apayrı avantajlar sağlar ki; bunlar yüksek katalitik etki, iyi kararlılık, tekrarlanabilirlik, yüksek hassasiyet, kolay hazırlanabilme ve geniş potansiyel aralığında çalışma imkanlarıdır. Bununla birlikte çeşitli tipteki modifikasyonlar, kendilerine özgü avantajlar ve sınırlamalar getirmektedir. Bu yüzden halen kararlılığı geliştirme, basit ve yeterli bir sensörle serotonin ve askorbik asit varlığında dopaminin yüksek hassasiyet ve seçicilikle karakterizasyonunu içeren istekler yönünde çaba harcanmakta ve bu doğrultuda çalışmalar yapılmaktadır.

Başta dopamin olmak üzere canlı organizmada sinir iletimini sağlayan bu maddelerin konsantrasyonlarındaki artma veya azalma geri dönüşü olmayan şizofreni ve parkinson gibi hastalıklara yol açtığından dolayı, bu tür ilaçların doğru ve hassas bir yöntemle saptanması hem bilimsel hem de tıbbi açıdan önemlidir. Bu çalışmada, camsı karbon elektrotları, çeşitli maddelerin elektropolimerizasyonu ile modifiye edilerek yeni elektrokimyasal sensörler elde edilmiştir. Elde edilen bu sensörler, normal elektrotlarla saptanması oldukça güç olan sinir iletimini sağlayan klinik açıdan büyük önemi olan bu moleküllerin hem elektrokimyasal davranışlarının incelenmesi için kullanılmış hem de sinirsel iletimi sağlayan bu moleküllerin doğru, duyarlı, tekrarlanabilir ve hızlı bir şekilde saptanmasına uygulanmıştır.

2. ÖNCEKİ ÇALIŞMALAR

Sinir iletimini sağlayan katekolaminlerin saptanması ve ölçülmesi duyuşal sinir sistemi aktivitesinin deęerlendirilmesine ve birok hastalıęın teşhisini kolaylaştırmasına olanak verir (Fotopoulou ve ark., 2002). Dopamine (DA) ve norepinephrine (NE) gibi merkezi sinir sisteminde iletimi sağlayan biyokimyasal maddelerin konsantrasyonlarındaki ani deęişmeler yaşanı etkiler. Özellikle, dopamin konsantrasyonundaki azalma veya artma, DNA' daki tahribatın önlenemedięi şizofreni ve parkinson gibi hastalıklara yol aar (Anderson ve ark., 2003; Wightman ve ark., 1988; Dayton ve ark., 1980; Raj ve ark., 2003; Wang ve ark., 2001). Bu nedenle bir ok bilim insanı biyokimyasal aıdan önemli olan ve sinir iletimini sağlayan bu tür moleküllerin saptanması üzerine yoğunlaşmıştır (Zen ve ark., 2004; Zhao ve ark., 2001; Jin ve ark., 2004; Zhao ve ark., 2002; Zhu ve ark., 1999). Bu tür moleküllerin saptanması için genel olarak, HPLC (Waarmann ve ark., 2002; Zhang ve ark., 2003; Li ve ark., 2003), florometri (Yang ve ark., 1998; Salem, 1999; Zhu ve ark., 2003) ve spektrofotometrik (Nagaraja ve ark., 2001) yöntemlerle kullanılmaktadır. Ayrıca elektrokimyasal olarak aktif olmasından dolayı, sinir iletimini sağlayan moleküllerin tayini elektrokimyasal yöntemlerle de gerçekleştirilebilir. Ancak, askorbik asit (AA) ve ürik asit (UA) bu tür moleküller ile birlikte bulunduęunda tayini bozar (Fang ve ark., 1999; Kumar ve ark., 2005). Özellikle AA, bu tür ilaçlara benzer elektrokimyasal davranış göstererek birbirlerine yakın potansiyelerde yükseltgenirler (Zhao ve ark., 2002; Zen ve ark., 2004). Bu nedenle normal bir elektrot ile bu tür ilaçların tayinini yapmak mümkün değildir.

Kimyasal olarak modifiye edilen elektrotlar (CMEs) kavramı elektroanalitik kimya alanındaki heyecan verici gelişmelerden biridir (Wang ve ark., 2006). Polimer modifiye elektrotlar en yaygın kullanılan yöntemdir. Polimer modifiye elektrotları, duyarlılık ve seçiciliklerinden dolayı ilaçların saptanmasında oldukça fazla avantajlara sahiptir. Polimer modifiye edilen karbon elektrotları metal elektrotlar ile karşılaştırıldığında, daha geniş potansiyel aralığında daha düşük akıma

sahip olması ve elektrot hatasından kaynaklanan akım cevabındaki belirsizliğin en düşük düzeye inmesinden dolayı daha çok tercih edilmektedir (Wang ve ark., 2006).

Normal bir elektrot ile tayini yapılmayan moleküllerin saptanmasındaki sorunları kimyasal olarak modifiye edilmiş bir elektrot sistemi çözebilir (Zhao ve ark., 2001; Roy ve ark., 2003; Ohnuki ve ark., 1983; Wang ve ark., 2006; Selvaraju ve ark., 2003; Gu ve ark., 2004; Zen ve ark., 1999)

2.1. Kimyasal Sensör Kavramı

Kimyasal türlerin saptanması ve ölçümü için artan gereksinimlere cevap veren iki önemli analitik cihaz sistemi gelişmiştir. Bunlardan birincisi, kimyasal türlendirmede eşit şekilde belli farklılıklar ile geniş bir aralıktaki numunelerin analizinde kullanılan doğal olarak çok sayıda çözümüleme birimine sahip cihaz sistemidir. Buna verilebilecek en tipik örnekler, gaz kromatografisi ve kütle spektrometri teknikleridir. İkincisi ise, kimyasal bileşimi bilinen örneklerin analizinde genel olarak kullanılan ve sınırlı sayıda çözme birimine sahip olan yüksek seçiciliğe sahip cihaz sistemidir. Analiz edilen türün varlığı ve konsantrasyonu hakkında bilgi veren bir kimyasal sensör bu ikinci kategoriye girmektedir. Kimyasal sensörler analitik kimya bilim alanına yeni girdiği halde, mikroelektronik teknolojisindeki olağanüstü ilerleme gelişimindeki yenilikleri teşvik etmiştir. Kimyasal sensör alanındaki araştırma son on yılda önemli bir şekilde artmıştır. Türleri algılama fazı genellikle ilgili analit molekülleriyle reaksiyona girebilen bir metal oksit, organik film veya bir polimer film gibi seçimli bir kaplamadır. Analit basit fiziksel veya kimyasal etkileşim sonucu kimyasal sensörün yüzeyine alınır. Bu etkileşim ise transduser adı verilen bir aygıt ile ölçülebilen bir elektronik sinyale dönüştürülür. Çıkış sinyali örnekteki analit miktarına ayna tutar. Bu tür sinyal dönüştürücü yöntemler genel olarak akustik, optik, termal ve elektrokimyasal temellere dayanır. Bir sensör için yapılabilecek en güzel tanım şöyle olabilir; kimyasal veya fiziksel özellikleri kullanılabilir bilgilere dönüştüren bir aygıttır. Bu tanıma göre, bir kimyasal sensör bir analit molekülünün kimyasal niteliği veya konsantrasyonunun bir fonksiyonu olarak bir elektrik sinyali oluşturan bir aygıttır. İdeal bir kimyasal sensör küçük ebatlı, basit, ucuz ve güvenilir olmalıdır.

Birçok analitik işlemde, kimyasal sensörler gaz veya sıvı fazda ilgili kimyasal türlerin aktivite veya konsantrasyonlarını izlemede kullanılmaktadır. Bundan dolayı, kimyasal sensörler sürekli kimyasal analiz gerektiren klinik teşhisler, çevre kirliliğinin izlenmesi, yiyecek ve ilaçların analizinde kullanım alanı bulmaktadır.

2.2. Modifiye Elektrotlar

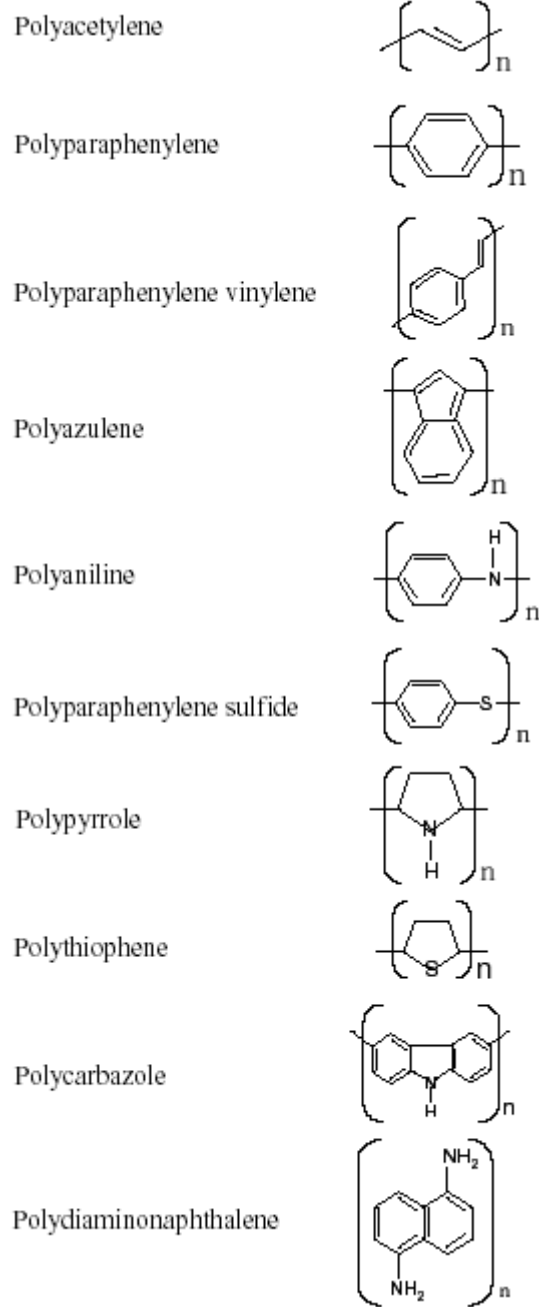
Modifiye elektrotlarda elektrot yüzeyine, kimyasal maddeler kendiliğinden veya dışarıdan bir etkiyle tutunur. Elektrot yüzeyindeki bu tutunma sonucunda kimyasal maddeler elektrot üzerinde bir tabaka meydana getirebildikleri gibi mevcut olan başka bir tabaka üzerine de tutunabilirler. Böylece elektrot yüzeyi farklı bir çalışma aralığı sunduğu gibi seçicilik veya katalizör gibi özelliklere de sahip olabilir. Elektrot yüzeyine tutunan maddelerin, elektrodun iletkenliğini kaybettirmemesi gerektiğine dikkat edilmelidir. Bunun için modifiye edici madde iletken olmalıdır veya elektrodun iletkenlik özelliklerini kaybetmeyeceği derecede ve biçimde kaplanmalıdır. Modifiye edici malzemeler organik veya inorganik olabilir. Organik madde olarak genelde polimerler kullanılmasına karşılık inorganik madde olarak da ligandlar, kompleksler veya metal oksitleri kullanılır. Modifiye film elektrotlarından biri olan polimer filmi elektrotlarının ayırt edici özelliği, polimer filmlerinin elektrokimyasal reaktif merkezler içeriyor olmasıdır. Kimyasal modifiye elektrotlar faradaik reaksiyonları vasıtası ile seçilmiş bir tek molekül, çoklu molekül, iyon veya polimerik film ile kaplanan ve bir iletken veya yarı iletken bir materyalden yapılan bir elektrot, yüzeydeki kimyasal filmin optik, kimyasal veya elektrokimyasal özelliklerini gösterebilir. Kimyasal modifiye elektrotlar deneysel çalışmanın temeli olan yük transferi reaksiyonlarını içeren voltametrik yöntemle çalışabilir.

2.2.1. İletken polimerler

Polikonjuge, poliaromatik ve poliheterosiklik moleküllerden oluşan ve doping edilmiş hallerinde yüksek elektriksel iletkenliğe sahip olan polimerlerdir. Yük taşınma şeklinin farklı olmasıyla redoks polimerlerinden ayrılırlar. Modifiye elektrotların farklı ve alışılmadık durumlarına özellikle de elektrokimyasal olarak

yapısının değişmesiyle iletkenliğinde de büyük değişme göstermesine ve yaygın biçimde kullanılan tekniklerin kabul edilebilirliğinin dışında kalan hızlı elektronik yük taşınmasından kaynaklandığına inanılmaktadır. İletken polimerler denince akla gelen ilk hususlardan biri de doping olayıdır. Elektropolimerizasyon sonucu elde edilen polimer, doping yardımıyla daha büyük bir iletkenliğe ulaşır. Bu iletkenlik, metallerin gösterdiği iletkenliğe yakındır. İletken polimer filmlerinin yük iletme mekanizmasının açıklanmasında iki farklı yaklaşım vardır. Fizikçilere göre daha çok doping edilmiş veya edilmemiş durumların özelliklerini kuru ortam şartlarında incelemişler, elektrokimyacılar ise polimerlerin çözelti ile temas halindeki durumunu anlamaya çalışmışlardır. İletken polimerlerde, redoks polimerlerinde olduğu gibi elektron zıplama mekanizmasıyla değil, delokalize band yapısıyla yüzey boyunca yük iletiminin sağlandığı düşünülmektedir. Bununla beraber, polimer zincirleri ile çözelti içindeki türler arasındaki etkileşimden kaynaklanan iyonik iletkenliğin de polimerin elektronik iletkenlik özelliğini arttırdığı bilinmektedir. Elektron zıplaması, aynı zamanda zincir üzerindeki farklı konjuge segmentler arasındaki zincir içi iletme de katkıda bulunabilir. Çünkü bir zincirin tamamen konjuge ve kusursuz olması ihtimal dışıdır. Hemen her koşulda olduğu gibi filmin yüklenmesi esnasındaki yük taşıma proseslerinin de tamamına, elektronötrallitenin korunması için karşıt iyonlar katılmaktadır. Zira, filmin elektronötrallitesinin korunması gerekliliği zorunlu olmaktadır. İletken polimerlerde, yükseltgenmiş durumdaki filmin iletkenliği, indirgenmiş haline ve redoks polimerlerine kıyasla çok daha yüksektir. Yük alışveriş işlevi tamamlandıktan sonra, pek sık olmasa da yüksek bir kapasitif etki gözlenir ve filmdeki karşıt iyon konsantrasyonu doygun değildir. Polianilinde olduğu gibi bazı durumlarda filmin protonlanması film iletkenliğinde bir artışa sebep olur. Hem yük taşınması hem de yük transferi prosesleri iletken polimerlerde çok hızlıdır ve aktivasyon enerjileri de redoks polimer filmlerine göre düşüktür. İletken polimer film elektrotlarındaki yük taşıma mekanizmasını açıklamak için birbirinden farklı iki tip model geliştirilmiştir. Bunlardan birinci tip yaklaşımı savunan araştırmacılar, polimer zinciri üzerindeki yükler ve çiftleşmemiş elektronlar, büyük oranda monomer birimleri üzerinde delokalize halde bulunduğundan delokalize band modelinin elektronik iletkenliği sağlamada asıl işlevci olduğunu kabul etmişlerdir. Diğer araştırmacılar ise ikinci tip yaklaşım tarzı

olarak polimer zinciri üzerindeki yüklerin lokalize halde bulunduğu bir kimyasal modeli tercih etmektedirler. İletken polimerlerin iletkenlik özelliğini aydınlatmak amacıyla geliştirilen modeller, yukarıdaki yaklaşım tarzlarından bir tanesi üzerine inşa edilir. Konjuge sistemlerde yük taşınması maddeden maddeye değişmekle beraber, sebebi henüz tam olarak bilinmemektedir. Maddeye özgü yük taşıma mekanizmasını ve meydana gelen olayları aydınlatmak için yapılan çalışmalarda ilgili madde için birkaç model düşünülerek başlanır ve sonrasında yük taşıyıcıların doğası ve mekanizmasıyla ilişki kurulmaya çalışılır. Genelde yük taşıyıcılar, aynı zincirdeki bir nötral ve bir yüklü soliton (yani polaron) ve yükseltgendikten sonra çiftleşmiş iki yüklü nokta halindeki bir dikasyon formu (bipolaron) olmak üzere üç tanedir. Polipiroldeki yük taşınmasına dair temel yüklü türlerin bipolaron olduğu tartışmasını bazı ESR sonuçları desteklemektedir. Diğer bazı sonuçlar da iletkenlik ve polaron konsantrasyonu arasında iyi bir ilişki olduğunu göstermiştir ve daha yüksek doping derecesinde görülen iletkenlikteki azalma bipolaron yapısıyla ilişkilendirilmiştir. Keza, hem polianilin hem de polipirol için alınan elektrokimyasal ESR verileri, lokalize redoks site modeliyle yorumlanmıştır. Genelde, deneysel bulgular yük taşıma hızının, polimerin morfolojisine çok bağlı olduğu yönündedir. İletken polimerlerin morfolojisi, destek elektrolitin doğası ve film hazırlama şartları ile açıklanır. İyonik iletkenliğin etkinliğini belirleyen faktör de filmin hazırlanması şartları ve özellikle de destek elektrolitin türüdür. Zira iyonik iletkenliğin, iki ayrı polimer zinciri arasındaki elektron iletiminde önemli bir rol oynadığı bilinmektedir. Anlaşıldığı üzere iletken polimerlerin doğasının anlaşılmasındaki güçlük, farklı proseslerin etkisinden kaynaklanmaktadır. Bu prosesleri ise birbirinden ayırarak incelemek zordur. Bundan dolayı, yük transferini anlamak için izlenecek yol, öncelikle modellerin ve yük transfer proseslerinin gözden geçirilmesi olacaktır. İkinci olarak, teoriler ve deneysel ipuçlarının ışığında deneysel şartları (potansiyel, elektrolit bileşimi, sıcaklık vs.) değiştirerek morfolojik değişimlerin aydınlatılması ve böylece polimer tabakasının özelliklerine varılması amaçlanmalıdır. En çok bilinen bazı iletken polimerlerin isimleri ve kimyasal yapı formülleri verilmiştir.



2.2.2. Elektrot kaplaması

Elektrot kaplaması çeşitli yöntemlerle gerçekleştirilir. Bunlardan birincisi, elektrot üzerinde küçük moleküllerin birbirine kovalent bağlı tabakalar halinde yer aldığı durumdur. Bu tip modifikasyon için kullanılan en yaygın reaktif

organosilanlardır; bunlarda elektrodun oksitli yüzeyine silil fonksiyonel grubu bağlıdır. İkinci olarak, elektrodun daha kalın bir polimer tabakası ile kaplı olduğu elektroaktif iletken polimer film kaplaması gelmektedir. Bu tip filmler aromatik bileşiklerin oksidasyonu ile meydana getirilebilir. Sonuncusu, büyük aromatik bileşiklerin ve polimerlerin tersinmez adsorpsiyonu ile gerçekleştirilen modifikasyon yöntemidir.

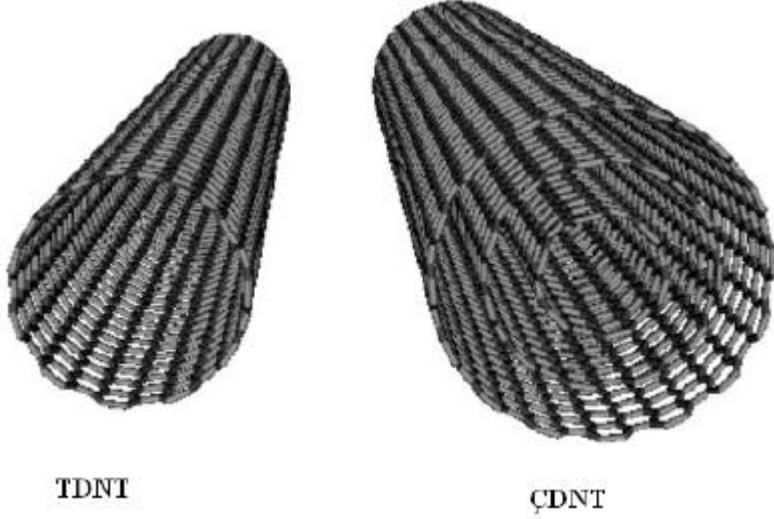
2.2.3. Elektrokimyasal polimerleştirme

İletken polimerlerin uygun bir elektrokimyasal sentezini gerçekleştirebilmek için, reaksiyon sonucu oluşan polimerlerin elektrot yüzeyinde birikmesi gerekir. Ancak bu birikme sonucu elektrot yüzeyi pasifleşmemelidir. Yalnız bir miktar polimer çözeltiliye geçmektedir. İdeal durumda elektrot yüzeyinde film halinde sentezlenen polimer, elektroda iletkenliğini kaybettirmemeli ve ileride yapılacak çalışmalarda elektrodun yeniden kaplanabilmesi için elektrot yüzeyinden kolayca uzaklaştırılabilmelidir. Monomer radikalleri, dimeri oluşturur; oluşan dimerin yükseltgenme potansiyeli monomerinkine göre daha düşük olduğundan dimer büyür, sürekli katılmalarla pasifleşme olmadan polimerleşme meydana gelir. Bu polimerler elektrot üzerinde birikir. Diğer polimerleşme türlerinden farklı olarak polimerin molekül kütlesi elektrot üzerinde birikme ile belirlenmez. Elektrokimyasal polimerleştirme, elektroorganik sentezleme türlerinden biridir. Elektroorganik sentezin en önemli özellikleri saf ürün elde edilmesinin yanında her defasında aynı stokiyometriye ve aynı özelliklere sahip tek bir ürün elde edilebilmesidir. Polimerik moleküller bir uçtan diğerine uzanan, çözeltili içinde konformasyonu değişen ve zincir yapısı lineer ya da dallı olabilen yapılardır.

2.2.4. Karbon nanotüpler

Karbon nanotüpler, nanometre ölçeğinde çapa sahip, karbondan yapılan tüp şeklindekimalzemelerdir. Karbon nanotüpler farklı boyda, kalınlıkta, çok katmanlı ve spiral tipteppek çok farklı yapıya sahiptirler. Tek bir grafit plakasının silindirik şeklinde kıvrılmasından ibaret ve 1-5nm çapa sahip tek duvarlı nanotüpler ve ortak eksenli tüplerin biraraya gelmesinden elde edilen iç çapı:1.5-15nm, dış çapı: 2.5-

30nm olan çokduvarlı nanotüpler, karbon nanotüp çeşitleridir. Aynı grafit katmandan oluşmalarına rağmen elektriksel özellikleri, geometrilerine göre değişir, metal ve yarıiletken olabilirler.



Karbon nanotüpler algılama uygulamaları için bazı avantajlara sahiptirler. Geniş yüzeyleri ile küçük boyutları; yüksek duyarlılık, hızlı yanıt verme ve oda sıcaklığında uygun tersinirlikleri karbon nanotüpleri gaz molekül sensörü olarak kullanmakta olanaklı kılmaktadır. Elektrokimyasal reaksiyonlarda elektrot olarak kullanıldıklarında elektron geçişini artırmaları ve potansiyel biyosensör olarak hatırlama yeteneğiyle proteinleri kolay tespit etme, istenen uygulamalar arasındadır. Çalışmalar, nanotüp sensörlerin duyarlılığında nanotüplerdeki yüzey değişikliklerinin rol oynadığını göstermektedir. Bu sensörlerin en önemli avantajı, nanotüplerin nanoboyutları element ve uygun nanoboyutlu malzemeleri hissetmesidir.

2.3. Voltametri

Bir indikatör veya çalışma elektrodunun polarize olduğu şartlarda, uygulanan potansiyelin bir fonksiyonu olarak akımın ölçülmesi ile analit hakkında bilgi edinilen bir grup elektroanalitik yöntemi kapsar. Genel olarak, voltametriye kullanılan çalışma elektrotları, polarizasyonu artırmak için, yüzey alanları

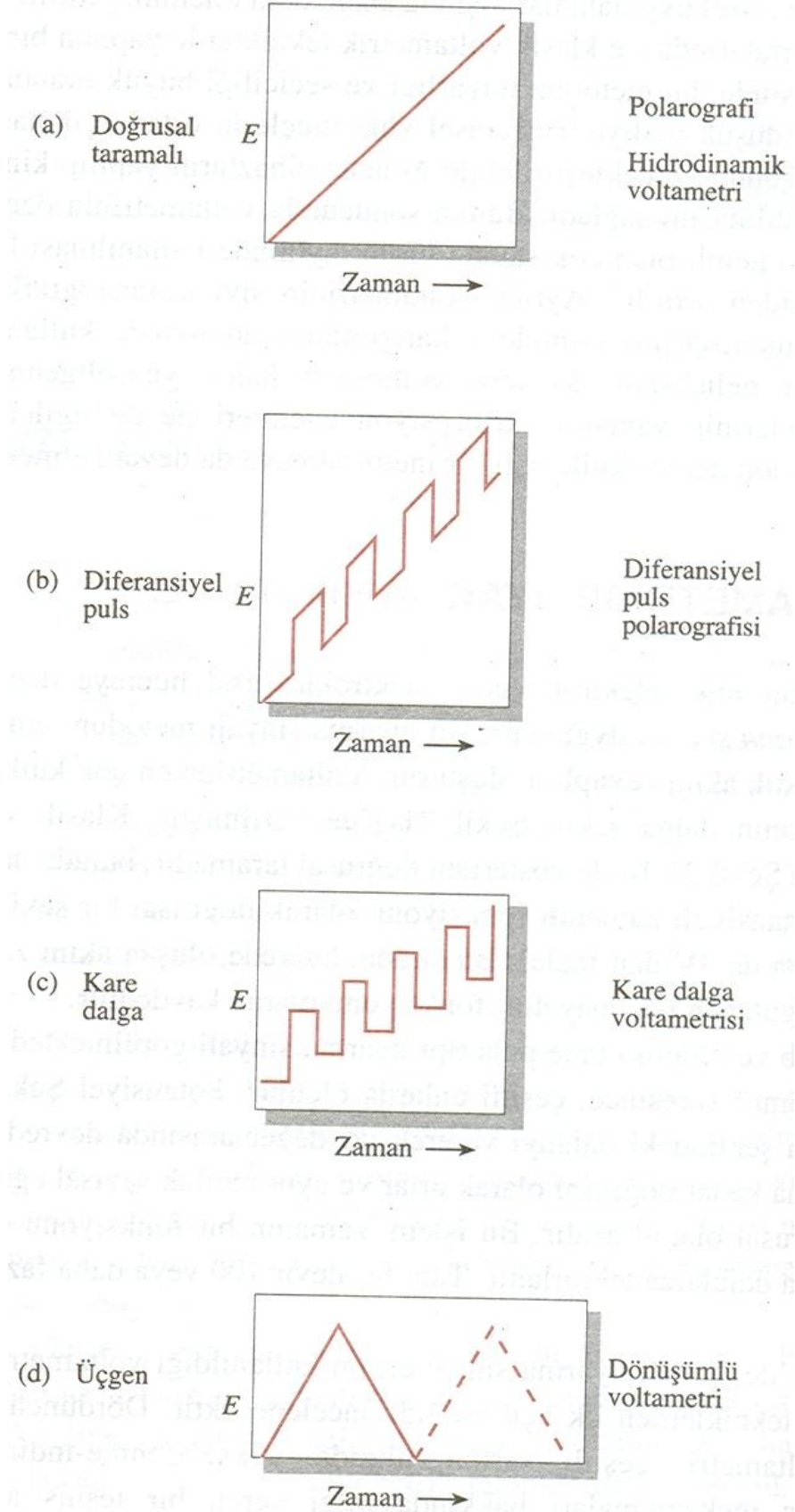
çoğunlukla birkaç milimetrekare ve bazı uygulamalarda ise birkaç mikrometrekare veya daha küçük olan mikroelektrotlardır. Voltametri, kimyacılar tarafından, çeşitli ortamlarda meydana gelen (a) yükseltgenme - indirgenme olaylarının incelenmesi (b) yüzeylerdeki adsorpsiyon olaylarının incelenmesi ve (c) kimyasal olarak modifiye edilmiş elektrot yüzeylerindeki elektron aktarım mekanizmalarının aydınlatılması gibi temel çalışmalar için oldukça yaygın bir şekilde kullanılmaktadır.

Voltametrde, çalışma elektrodunun gerilimi, sistematik olarak değiştirilirken akım ölçülür. Elektroda, zamana göre değişimi çok farklı gerilimler uygulandığında elde edilen potansiyel-zaman fonksiyonlarına uyarma sinyali denir. Şekil 2.1.' de bu sinyallerin en basiti, çalışma elektrodunun potansiyelinin zamanla doğrusal olarak değiştiği doğrusal taramadır (a). Diğer ikisinde ise uyarma sinyali puls tipidir (b ve c). Sonucusu ise üçgen şeklindeki dalga iki değer arasında devreder (d). Önce bir maksimuma kadar doğrusal olarak artar ve sonra aynı eğilimle orijinal değerine doğrusal olarak azalır. Bu işlem, akımın zamanın bir fonksiyonu olarak kaydedilirken defalarca tekrarlanabilir.

Nernst eşitliği voltametrinin temeli olup tersinir bir reaksiyon için kullanılabilir. Bu eşitlikte, O yükseltgenmiş ve R indirgenmiş türleri ifade etmektedir.

$$E = E^0 - \frac{RT}{nF} \ln \frac{C_R}{C_O}$$

burada, R, molar gaz sabiti; T, mutlak sıcaklık; n, elektron sayısı; F, faraday sabiti; E, uygulanan potansiyel ve E⁰ ise standart elektrot potansiyelidir.

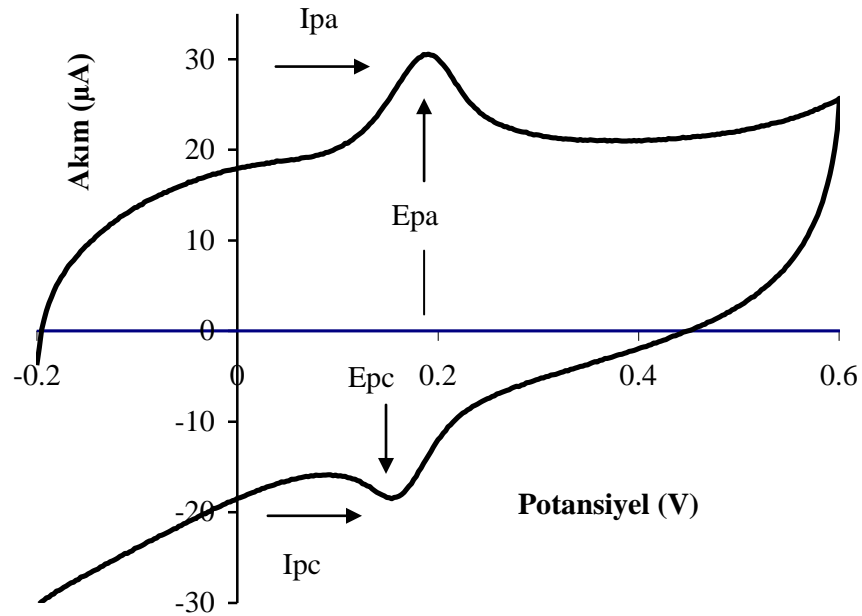


Şekil 2.1. Voltamtride kullanılan potansiyel uyarma sinyalleri

2.3.1. Dönüşümlü voltametri

Dönüşümlü voltametri (CV), en yaygın kullanılan bir elektroanalitik tekniktir. Nicel amaçlarla kullanımı nadir olmakla birlikte, yükseltgenme-indirgenme reaksiyonlarının incelenmesinde ve elektrotlarda oluşan ürünlerin oluşum sonrası reaksiyonlarını yakalamada çok yaygın olarak uygulanmaktadır. CV yönteminde, uygulanan potansiyel önce bir yerde, sonra ters yönde taranırken akım ölçülür. Bir CV deneyinde tek bir tam döngü veya bir çok döngüler kullanılabilir.

Bir CV deneyinde, küçük boyutlu statik bir elektrot, durgun bir çözeltide Şekil 2.1d' de görülene benzer dalga formuna sahip bir potansiyel değişimi uygulanarak, bir akım sinyali vermesi sağlanır. Üçgen dalga formu ileri ve bunun tersi yöndeki potansiyel taramasını temsil eder. Şekil 2.2.' deki örnekte, potansiyel önce -0.2 V' den -0.6 V' a değiştirilir. Daha sonra tarama yönü terse çevrilip potansiyelin başlangıçtaki -0.2 V değerine geldiği yerde tarama durdurulur. Bu örnekteki tarama hızı, her iki yönde de 50 mV/s' dir. Genellikle, bu döngü defalarca tekrarlanır.



Şekil 2.2. Bir dönüşümlü voltamogram

Taramanın ters döndüğü potansiyellere dönüş potansiyeli denir. Belli bir deneyde, dönüş potansiyelleri bir veya daha çok sayıda türün difüzyon kontrollü yükseltgenmesinin veya indirgenmesinin gözlemlenmesini mümkün hale getirecek şekilde seçilir. İlk taramanın yönü numunenin bileşimine bağlı olarak şekilde görüldüğü gibi negatif yönde olabileceği gibi pozitif yönde de olabilir. Daha negatif potansiyellere doğru giderek tarama yapılıyorsa buna ileri tarama, tersi yöndekine ise geri tarama denir. Tarama süreleri 1 ms veya daha kısa değerlerden başlayarak, 100 s veya daha uzun değerlere çıkabilir. Dönüşümlü voltamogramda önemli parametreler, katodik pik potansiyeli (E_{pc}), anodik pik potansiyeli (E_{pa}), katodik pik akımı (I_{pc}) ve anodik pik akımıdır (I_{pa}). Bu parametreler Şekil 2.2. üzerinde açıkça görülmektedir. Tersinir bir elektrot reaksiyonunda, anodik ve katodik pik akımları yaklaşık birbirine eşittir, ancak işaretleri zıttır. Yine aynı zamanda tersinir bir elektrot reaksiyonu için 25 °C’da pik potansiyelleri arasındaki farkın (ΔE_p),

$$E_p = E_{pa} - E_{pc} = \frac{0.059}{n} \quad (2.11)$$

olması beklenir. Burada n , yarı reaksiyonda kullanılan elektron sayısıdır. Elektron transfer kinetiği çok yavaş olduğu zaman E_p beklenen değerden daha büyük çıkar. Bir elektron transfer reaksiyonu, düşük tarama hızlarında tersinir gibi görülürken, tarama hızı büyüdükçe E_p büyüyorsa, bu sağlam bir tersinmezlik göstergesidir. Bu nedenle, elektrot aktarım kinetiğinin yavaş olup olmadığını gözlemek ve hız sabitini elde etmek için farklı tarama hızlarındaki E_p değerleri hesaplanır.

Nicel bilgi için, Randles-Sevcik eşitliği kullanılır. 25 °C’da bu eşitlik aşağıda verilmiştir:

$$I_p = 2.686 \times 10^5 n^{3/2} ACD^{1/2} \nu^{1/2} \quad (2.12)$$

Burada, I_p , pik akımı, A , elektrot yüzey alanı, D , difüzyon katsayısı, C , konsantrasyon ve ν ise tarama hızıdır. Dönüşümlü voltametri konsantrasyon, elektrot yüzey alanı ve tarama hızı biliniyorsa, difüzyon katsayısının hesaplanması için uygun bir yoldur.

2.3.2. Voltametri de hücre kurulumu ve elektrotlar

Voltametrik yöntemler, üçlü elektrot sistemi olarak adlandırılan ve içinde çalışma, referans ve yardımcı elektrot içeren bir hücre kullanır. Genellikle, analiz edilen çözeltinin iletkenliğini artırmak için elektrolit ilave edilir. Çözücü, elektrolit ve spesifik çalışma elektrodunun malzemesi potansiyel aralığını belirler. Voltametri de, elektrotlar voltamogram alınırken, statik ve karıştırılmayan bir çözeltide bulunur.

Çalışma elektrotları genellikle, camsı karbon, altın ve platinden yapılır. Elektrotlar, genellikle 1 mm ile 3 mm çapında imal edilir. Dönüşümlü voltametrik deneyleri yüksek tarama hızlarında bu çaptaki elektrotlarla yürütmek doğru değildir. Yüksek tarama hızları voltamogramın şeklinin değişmesine neden olan yüksek direnç oluşmasına sebep olur. Akımı ve direnci minimize etmek için ultramikroelektrotlar kullanılabilir.

Karşıt elektrot veya ikincil elektrot olarak da bilinen yardımcı elektrotlar, herhangi bir iletken malzemeden yapılabilir ancak analiz edilen çözelti ile reaksiyona girmemesi gerekir. Akım, çalışma elektrodu ile yardımcı elektrot arasında meydana gelir.

Referans elektrot ise potansiyeli sabit olarak bilinen kararlı bir elektrot olup potansiyeli deney boyunca sabit kalır. Referans elektrodunun görevi çalışma elektrodunun potansiyelini kontrol etmektir. En yaygın kullanılan referans elektrotlar, doymun kalomel ve gümüş-gümüş klorür (Ag/ AgCl) elektrotlarıdır. Ancak, gümüş tel de nadiren kullanılmaktadır.

2.4. Saptama Sınırının Hesaplanması

En düşük tayin edilebilme sınırı, analitik sinyal büyüklüğünün tanık sinyalindeki istatistiksel sapma oranına bağlıdır. Diğer bir ifadeyle, analitik sinyal rasgele hatalardan kaynaklanan gürültü sinyalindeki sapmanın 3 katı kadar büyük olmadığı sürece, analitik sinyali belirli bir kesinlikle görmek imkansızdır. Böylece

gözlenebilme sınırına yaklaştıkça analitik sinyal ve standart sapması tanık sinyaline (S_{bl}) ve standart sapmasına (s_{bl}) yaklaşır. Belirlenen en küçük ortalama analitik sinyal (S_m), ortalama tanık sinyali (S_{bl}) ile tanığın standart sapmasının 3 katı toplamına eşit olarak alınır. Yani;

$$S_m = S_{bl} + 3s_{bl}$$

S_m , gözlenebilme sınırı sinyali konsantrasyona dönüşümü, $C_m = S_m - S_{bl}/m$ ($m =$ kalibrasyon grafiği eğimi) ile saptama sınırı hesaplanır.

3. MATERYAL ve YÖNTEM

3.1. Materyal

Dopamin, askorbik asit, ürik asit, furan-3-karboksilik asit, Fluka (Almanya) firmasından alındı. Potasyum klorür ise Merck (Almanya) firmasından alındı. Bunların dışındaki diğer bütün kimyasallar da, Merck (Almanya) ve Fluka (Almanya) firmalarından alındı. Dopamin ve Dopamin Fresenius ampul ilaçları çeşitli eczanelerden satın alındı. Kullanılan kan örnekleri Şanlıurfa Devlet Hastanesi'nden temin edildi. Dopamin, askorbik asit ve ürik asit çözeltileri pH 4.0, 0.1 M fosfat tamponunda (PBS) hazırlandı. Furan-3-karboksilik asit, pH 7.2, 0.2 M KCl çözeltisi kullanılarak hazırlandı. Furan-3-karboksilik asit ise pH'sı 7.2 olan 0.2 M KCl çözeltisinde hazırlandı. Deneylerde bidestile su kullanıldı. Ayrıca hücrede bulunan çözeltiden her defasında saf azot gazı geçirildi. Voltametik deneyler (Software paket 4.9) Eco-Chemie Autolab PGSTAT 12 potentiostat/galvanostat (Utrecht, Hollanda) kullanılarak yapıldı. Camısı karbon elektrotlar çalışma elektrodu (3 mm çapında Bioanalytical Systems, Lafayette, USA), Pt tel yardımcı elektrot ve Ag/AgCl ise referans elektrot olarak kullanıldı.

3.2. Yöntem

3.2.1. Karbon nanotüp ve Poly (furan-3-karboksilik asit) ile modifiye edilen camısı karbon elektrodun (GCE) hazırlanması

Elektrokimyasal modifikasyondan önce, yalın camısı karbon elektrot (GCE), bir temizleme pedinde 0.05µm boyutundaki alümina ile temizlendi. Saf su ile yıkandıktan sonra 1:1 HNO₃ ve aseton çözeltisine daldırıldı. Sonra tekrar 10 dakika suda bekletildi. Elektrot temizlendikten sonra, pH'ı 4.0 olan PBS içinde -0.6 V ile +0.8 V arasında dönüşümlü voltametri uygulanıp 5 defa tarama yapılarak GCE aktifleştirildi. Klorofom içinde hazırlanan karbon nanotüp süspansiyonundan belirli bir hacim alınarak elektrot yüzeyine damlatıldı. Daha sonra çözücü buharlaştıktan sonra, elektrot, 0.01 M furan-3-karboksilik asitin pH'sı olan 7.2, 0.2 M KCl çözeltisine daldırıldı ve -1.5 V ile +2.5 V arasında dönüşümlü voltametri ile 25

tarama yapıldı. Modifiye edilen elektrot oda şartlarında 20 dk bekletildikten sonra bidestile su ile yıkandı. Sonra bu modifiye GCE, pH' ı 4.0 olan 0.1 M PBS' de 100 mV/sn' de – 0.6 V ile +0.8 V arasında dönüşümlü voltametri ile elektroaktif hale getirildi.

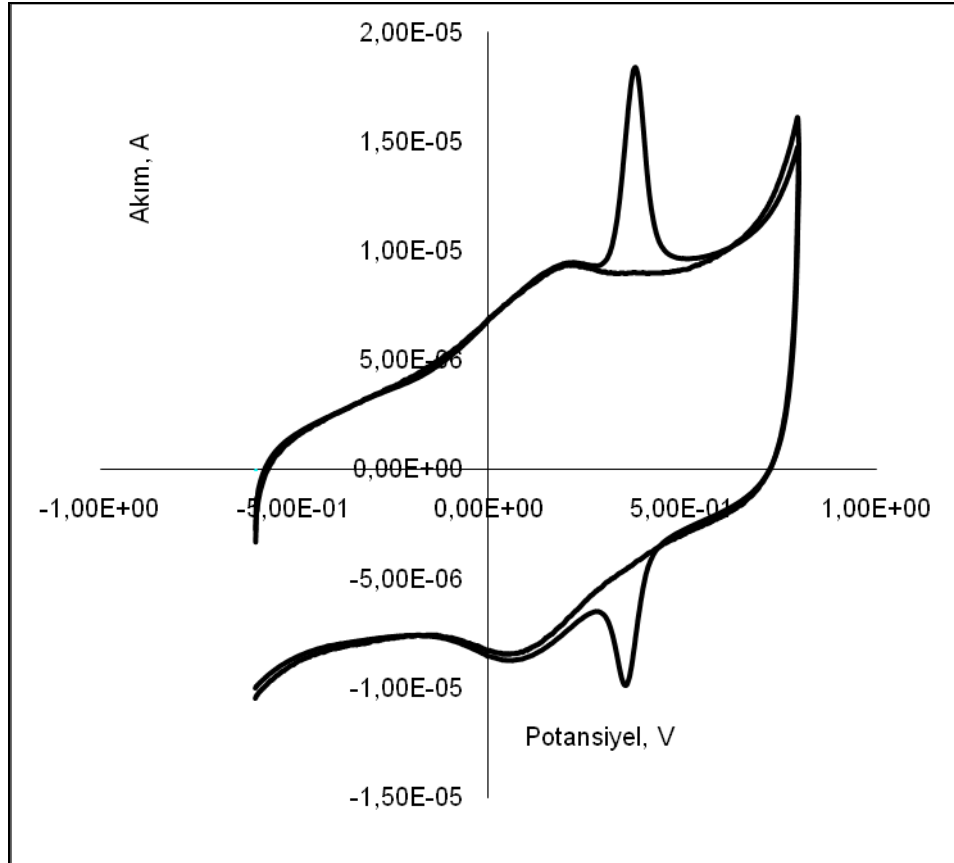
3.2.2. Modifiye edilen GCE' lerin saklanması

Bu çalışmada, hazırlanan bu poly(furan-3-karboksilik asit)/CNTs/GCE ile tekrarlanabilir akımlar elde etmek için elektrotların çok dikkatli kullanılması gerekmektedir. Dönüşümlü voltametri ile 0.1 M PBS içinde yaklaşık 20-25 tarama yapıldığında kullanılmış bir elektrot ile tekrar taze bir background voltamogram elde edilmiştir. Ayrıca, modifiye elektrot kullanılmadığı zaman 0.1 M PBS içinde muhafaza edilen modifiye elektrotlar tekrar kullanıldığında, bir hafta sonra pik akımlarında sadece % 4-6 civarında bir düşme olduğu gözlenmiş ve hazırlanan modifiye elektrotların tekrarlanabilirliğinin mükemmel olduğunu, aynı elektrotla tekrar tekrar çalışma yapılabildiğini göstermiştir.

4. ARASTIRMA BULGULARI ve TARTISMA

4.1. Poly(furan-3-karboksilik asit)/CNTs/GCE Yüzeyinde AA ve UA varlığında DATayini

4.1.1. Dopamin' in yalın GCE ve poly(furan-3-karboksilik asit)/ CNTs/GCE yüzeylerindeki voltametrik davranışları

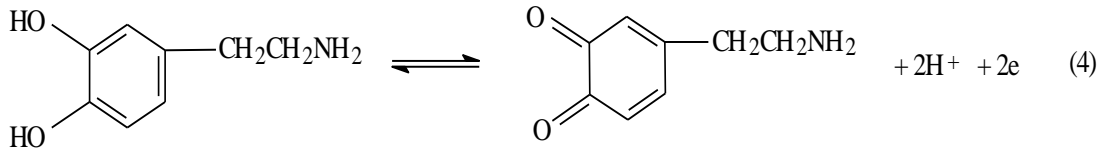


Şekil 4.1. 1.5×10^{-5} M DA' nın yalın GCE (a) ve poly (furan-3-karboksilik asit)/ CNTs/GCE (b) yüzeylerindeki dönüşümlü voltamogramları. Destek elektrolit: 0.1 M PBS. pH 4.0. Denge zamanı: 5 s. Tarama hızı: 50 mV/s

0.1 M pH' ı 4.0 olan PBS' de, yalın GCE ve poly(furan-3-karboksilik asit) ve karbon nanotüplerle modifiye edilen GCE yüzeyinde DA' nın dönüşümlü voltamogramları Şekil 4.1.' de verilmiştir.

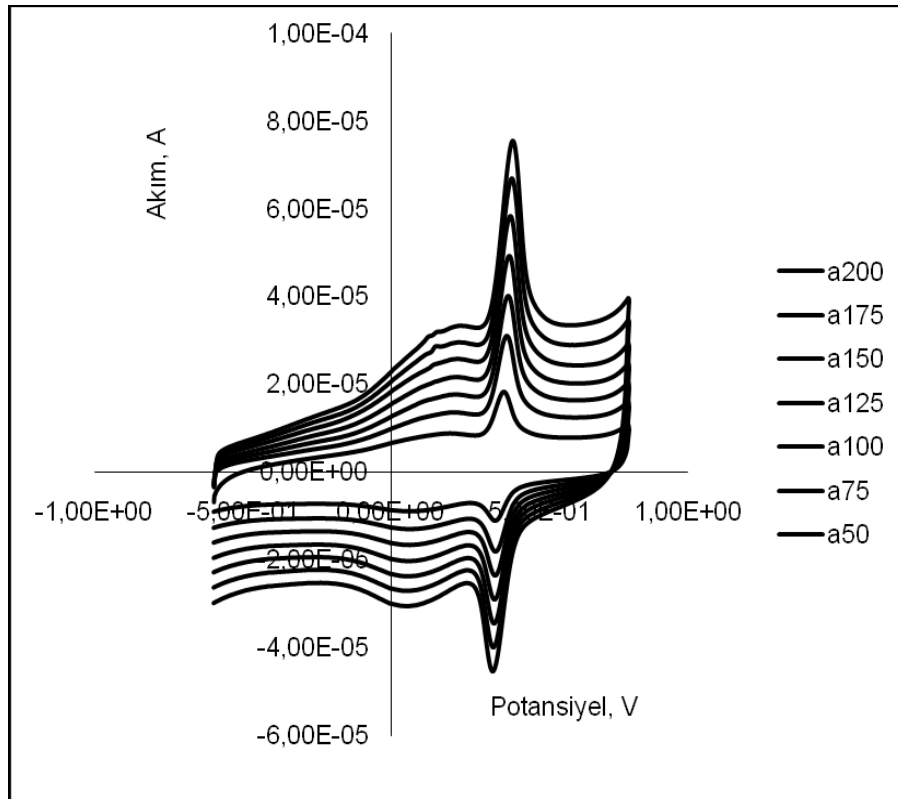
Poly (furan-3-karboksilik asit)/CNTs/GCE yüzeyinde DA' nın elektrokimyasal cevabı büyük oranda artma göstermiştir. Yalın GCE yüzeyinde, DA 0.574 V civarında bir yükseltgenme piki verirken, indirgenme piki 0.213 V civarında gerçekleşmiştir. Pik potansiyelleri arasındaki fark (ΔE_p) 360 mV civarındadır. Poly (furan-3-karboksilik asit)/ CNTs/GCE yüzeyinde ise, yükseltgenme $E_{pa} = +0.370$ V civarında gerçekleşirken, indirgenme ise $E_{pc} = +0.365$ V olarak ortaya çıkmıştır. Poly (furan-3-karboksilik asit)/ CNTs/GCE yüzeyinde DA için pik potansiyelleri arasındaki fark, $\Delta E_p = 5$ mV olarak hesaplanmıştır. Bu da, poly (furan-3-karboksilik asit) ve karbon nanotüplerle modifiye edilen camı karbon elektrodun DA' nın elektron transfer hızını arttırdığını göstermiştir. Ayrıca modifiye elektrot yüzeyinde pik akımının da arttığı görülmektedir. Akım cevabındaki büyük artış, polimer filmin elektroda geniş yüzey alanı sağlamasından ve elektron transfer prosesindeki tersinirliğin önemli ölçüde düzelmesinden dolayı gözlenmiştir (Wang ve ark., 2001; Niu ve ark., 2005; Selveraju ve ark., 2003). Şekil 4.1.' de görüldüğü gibi, 0.1 M PBS' de pH 4.0' da poly (furan-3-karboksilik asit)/ CNTs/GCE yüzeyinde sadece bir redoks çifti gözlenmiştir. 0.1 M PBS' de pH 4.0' da, poly (furan-3-karboksilik asit)/ CNTs/GCE yüzeyinde DA' nın yükseltgenmesinin 0.370 V' de, indirgenme potansiyelinin ise 0.365 V' de gerçekleştiği gözlenmiştir. Pik potansiyelleri arasındaki fark 5 mV olarak hesaplanmıştır. Bu durum, pH 4.0' da DA' nın sadece dopaminequinone oluşturmak üzere sadece $2e^-$ ile tersinir olarak yükseltgendiğini göstermiştir. 0.1 M PBS ve pH 4.0' da önerilen DA reaksiyonu tasarımı Çizelge 4.1.' de verilmiştir.

Çizelge 4.1. 0.1 PBS ve pH 4.0' da poly(furan-3-karboksilik asit)/ CNTs/GCE yüzeyinde önerilen Dopamin (DA) reaksiyonu



4.1.2. Tarama hızının DA' nın pik potansiyeli ve pik akımına etkisi

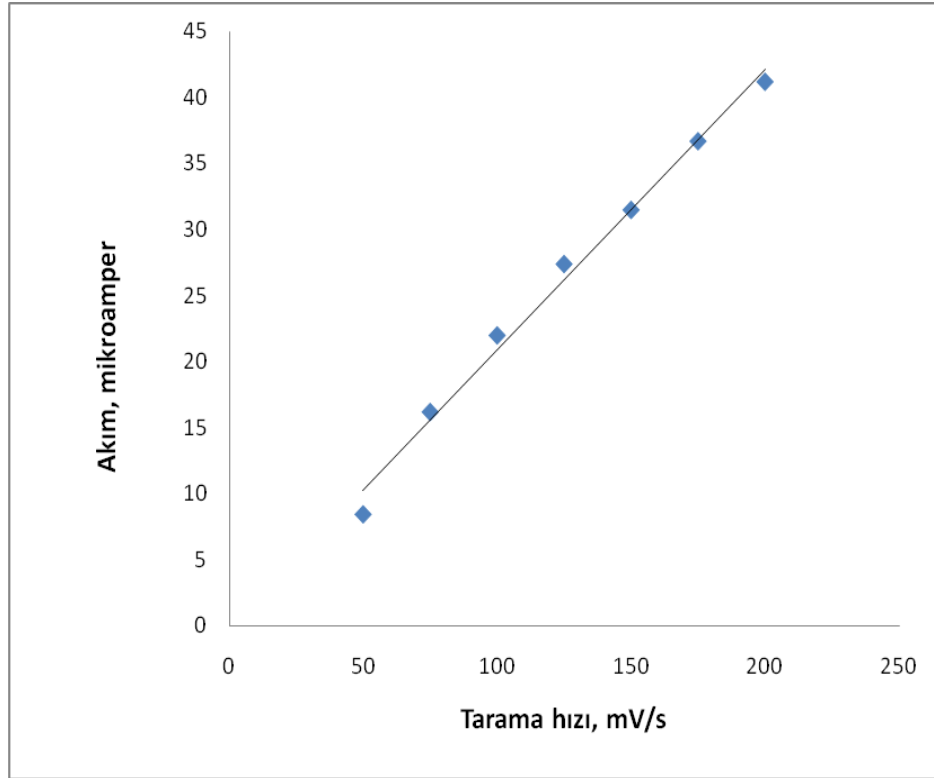
Tarama hızının, poly (furan-3-karboksilik asit)/CNTs/GCE yüzeyinde DA' nın elektrokimyasal davranışına etkisi Şekil 4.2.' de verilmiştir. Pik akımının 50-200 mV/s arasındaki tarama hızı ile doğru orantılı olarak arttığı Şekil 4.3.' te de gösterilmiştir. Tarama hızının artması ile DA' nın pik potansiyelinde herhangi bir değişme olmadığı gözlenmiştir. Aynı zamanda, $\log I_p$ ' nin $\log v$ ' ye karşı grafiğinin eğimi > 0.5 olarak hesaplanmıştır. Bu sonuçlar, elektrot prosesinin adsorpsiyon kontrollü olduğunu göstermiştir.



Şekil 4.2. 0.1 M PBS ve pH 4.0' da 1.0×10^{-6} M DA' nın poly (furan-3-karboksilik asit)/CNTs/GCE

yüzeyinde farklı tarama hızlarındaki dönüşümlü voltamogramları. Tarama hızları: (a) 50 mV/s (b) 75 mV/s (c) 100 mV/s (d) 125 mV/s (e) 150 mV/s (f) 200 mV/s.

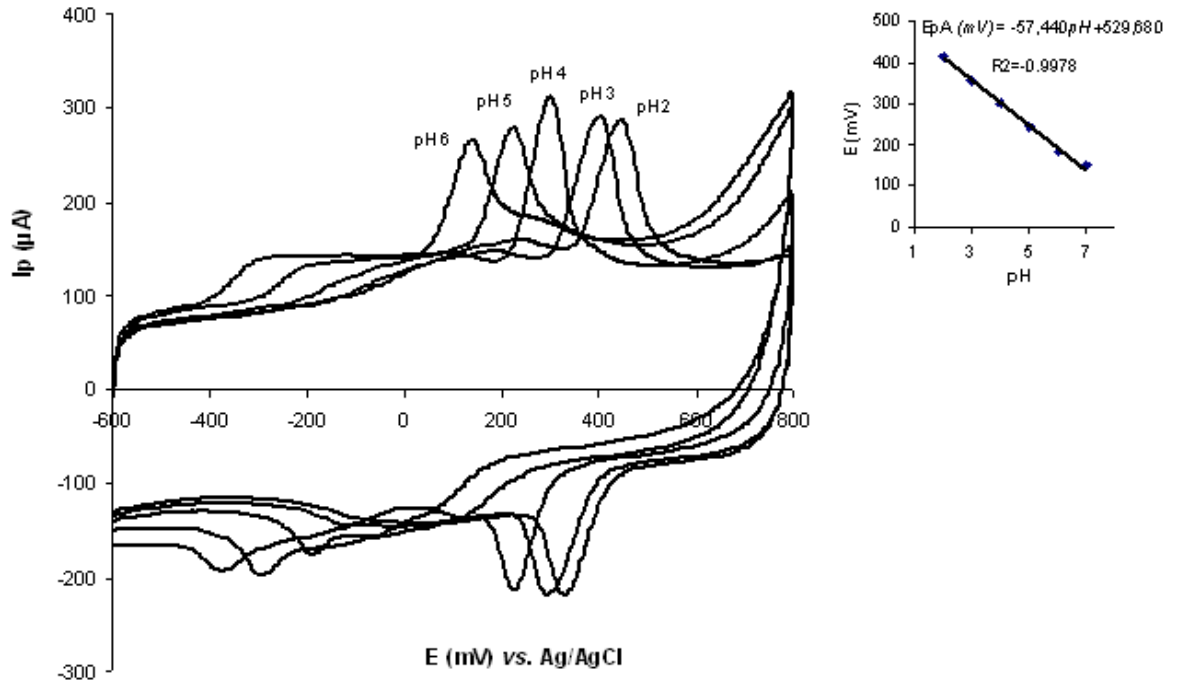
Denge zamanı: 5 s



Şekil 4.3. Poly (furan-3-karboksilik asit)/ CNTs/GCE yüzeyinde DA' nın pik akımına tarama hızının etkisi

4.1.3. pH' nın DA' nın pik potansiyeline etkisi

Poly (furan-3-karboksilik asit)/ CNTs/GCE yüzeyinde DA' nın pik potansiyeline pH etkisi 0.1 M PBS tamponunda incelendi. PBS' nin pH değeri ve DA' nın yükseltgenme pik potansiyeli arasındaki ilişki Şekil 4.5.' te verilmiştir. Çözeltinin pH' ı artıkça DA' nın pik potansiyelinin negatif yöne doğru kaydığı Şekil 4.4.' te verilen dönüşümlü voltamogramlarda gösterilmiştir. Bu durum, DA' nın redoks çiftinin yükseltgenme ve indirgenme sırasında proton transferi içerdiğini göstermektedir. Grafiğin eğimi yaklaşık 57.4 mV/ pH' dır. Bu durum reaksiyonlarda elektron ve proton oranının 1:1 olduğunu göstermektedir. Elektrot reaksiyonunda, elektron sayısı ve proton sayısı eşit olacağından, toplam elektrot reaksiyonundaki hidrojen iyonlarının sayısı 2 olmaktadır.

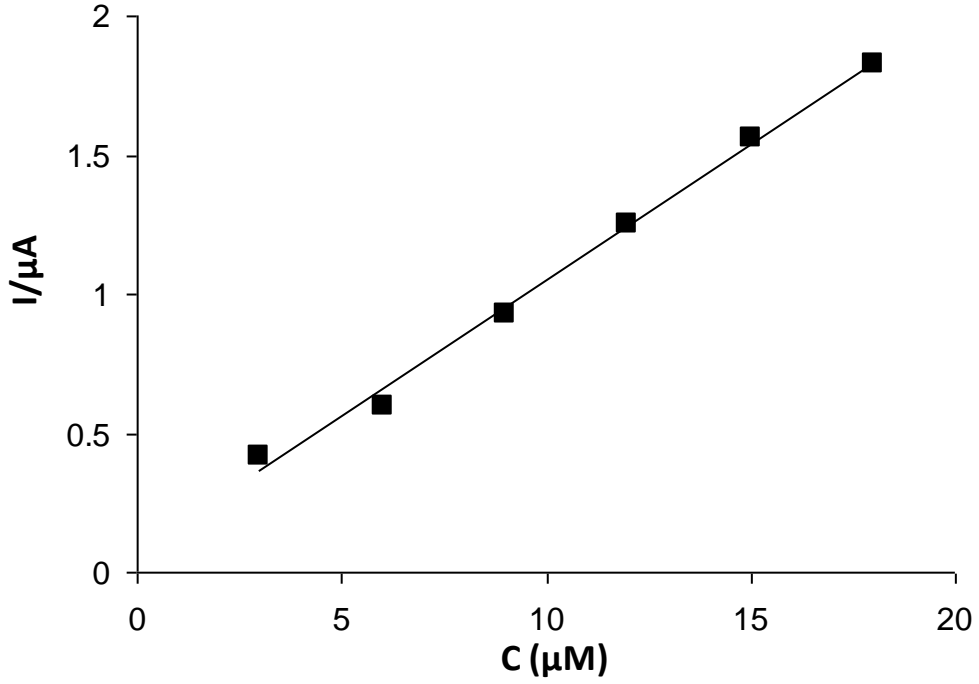


Şekil 4.4. Poly (furan-3-karboksilik asit)/ CNTs/GCE yüzeyinde DA' nın farklı pH' lardaki dönüşümlü voltamogramları. Denge süresi: 5 s. Tarama hızı: 50 mV/ s. Destek elektrolit PBS.

4.1.4. Poly (furan-3-karboksilik asit)/ CNTs/GCE yüzeyinde DA' nın saptanması

Poly (furan-3-karboksilik asit)/ CNTs/GCE yüzeyinde DA' nın saptanması kare dalga voltametri kullanılarak gerçekleştirildi. 0.1 M PBS ve pH 4.0' da, poly (furan-3-karboksilik asit)/ CNTs/GCE yüzeyinde DA' nın, farklı konsantrasyonlarının elde edilerek akım-konsantrasyon grafiği elde edildi (Şekil 4.5). Poly (furan-3-karboksilik asit)/ CNTs/GCE' de DA' nın anodik pik akımı $3.0 \times 10^{-7} M \sim 2.0 \times 10^{-5} M$ aralığında doğrusaldır. Edilen kalibrasyon grafiği için, korelasyon katsayısı 0.9997 olan $I_{pA}(\mu A) = -3.6980 + 59.6990C(\mu M)$ kalibrasyon denklemi elde edilmiştir. DA' nın saptama limiti $6.0 \times 10^{-8} M$ dir. $1.5 \times 10^{-5} M$ DA için, 10 taramanın bağıl standart sapması (RSD %) % 2.1' tür. Bu durum, poly

(furan-3-karboksilik asit) ve karbon nanotüplerle modifiye edilen GCE' nin tekrarlanabilirliğinin mükemmel olduğunu göstermiştir.

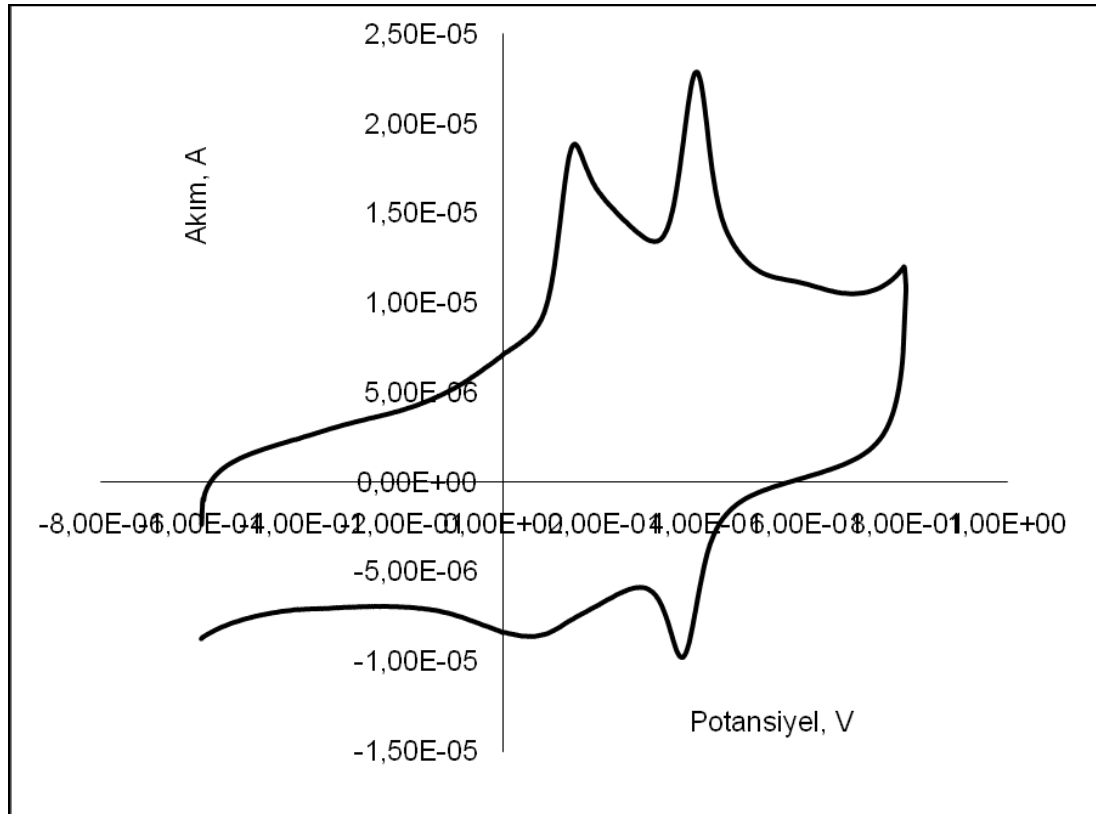


Şekil 4.5. 0.1 M PBS ve pH 4.0' da poly (furan-3-karboksilik asit)/ CNTs/GCE yüzeyinde DA' nın artan konsantrasyonlarına karşı kare dalga voltametri ile alınan pik akımları grafiği . DA konsantrasyonları: 3.0×10^{-6} M, 6.0×10^{-6} M, 9.0×10^{-6} M, 1.2×10^{-5} M, 1.5×10^{-5} M, 1.8×10^{-5} M. Denge zamanı: 5 s. Frekans: 10 Hz. Step potential: 20 mV. Amplitude: 25 mV

4.1.5. DA' nın AA varlığında yalnız GCE ve poly (furan-3-karboksilik asit)/ CNTs/GCE yüzeyinde saptanması

Bilindiği gibi AA ve DA benzer elektrokimyasal davranış göstererek birbirine yakın potansiyelde yükseltgenir. Böylece AA, DA' nın saptanmasını bozar (Fang ve ark., 1999; Kumar ve ark., 2006). Bu nedenle AA varlığında, DA' nın duyarlı bir şekilde saptanması oldukça önemlidir.

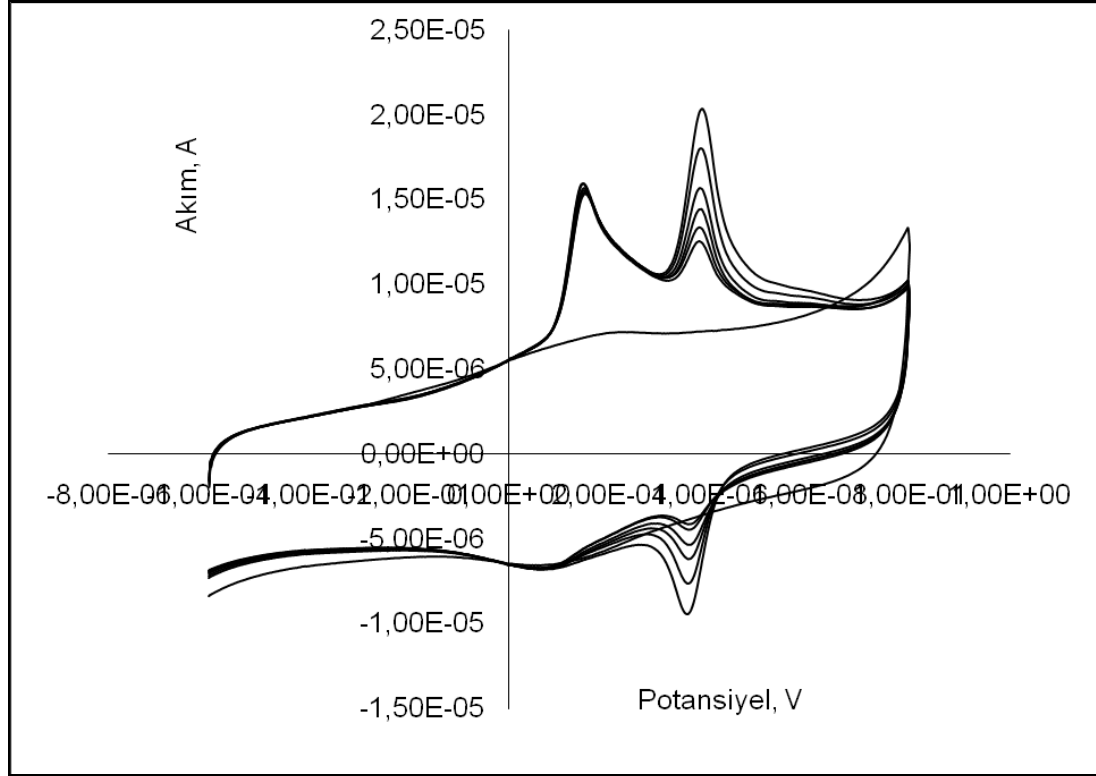
Şekil 4.6.'te 1.4×10^{-5} M AA ve 2.1×10^{-6} M DA karışımının pH 4.0, 0.1 M PBS' de yalın GCE ve poly(furan-3-karboksilik asit)/CNTs/GCE yüzeyindeki dönüşümlü voltamogramları verilmiştir. (a) voltamogramına bakıldığında yalın elektrot yüzeyinde, AA ve DA karışımının elektrokimyasal reaksiyonu çalışılmıştır. Ancak bu voltammograma bakıldığında, ortamda farklı iki madde olmasına rağmen yüksek potansiyelde geniş, yayvan ve tek bir pik görülmektedir. Yani yalın elektrot AA ve DA karışımının yükseltgenme piklerini ayıramamıştır. Çünkü AA ve DA'nın yükseltgenme ürünleri yalın elektrot yüzeyini bozmuştur. Yalın elektrot yüzeyindeki bu iki madde, yavaş bir elektron transferi gerçekleştirmiştir ve bu yüzden aşırı bir potansiyelde bir arada yükseltgenerek birbirlerinin ayrılmasına girişim yapmışlardır. AA ve DA'nın bir arada olduğu çözelti ortamında poly (furan-3-karboksilik asit) yüzeyinde çalışıldığında (a) voltamogramının aksine, farklı iki maddeye ait farklı iki yükseltgenme piki (b) voltamogramında görüldüğü gibi elde edilmiştir.



Şekil 4.6. 1.5×10^{-5} M AA ve 2.1×10^{-6} M DA'nın Yalın GCE (a), Poly (furan-3-karboksilik asit)/ CNTs/GCE (b) yüzeyinde dönüşümlü voltamogramları. Destek elektrolit: 0.1 M PBS. pH 4.0. Denge zamanı: 5 s. Tarama hızı: 50 mV/s

Böylece modifiye edilmiş yüzeyde, poly(furan-3-karboksilik asit)/ CNTs/GCE sistemi ile çalışıldığında askorbik asit ve dopaminin elektrokimyasal reaksiyonunda elektrokatalitik bir etki sağlayarak bu iki maddenin yükseltgenmelerinin gerçekleştiği pik potansiyellerini negatif yönde kaydırmış, yalın elektrotta oluşan aşırı potansiyeldeki yükseltgenmeleri önlemiştir. Ayrıca bu elektrokatalitik etki sayesinde daha hızlı bir elektron transferi gerçekleşmiştir. AA' nın pik potansiyelinin çözeltinin pH' ına bağlı olduğu bilinmektedir (Fei ve ark., 2005). Bu durum, poly (furan-3-karboksilik asit)/ CNTs/GCE' nin AA ve DA' nın yükseltgenme pik potansiyellerini kolaylıkla ayırt edebildiğini göstermiştir.

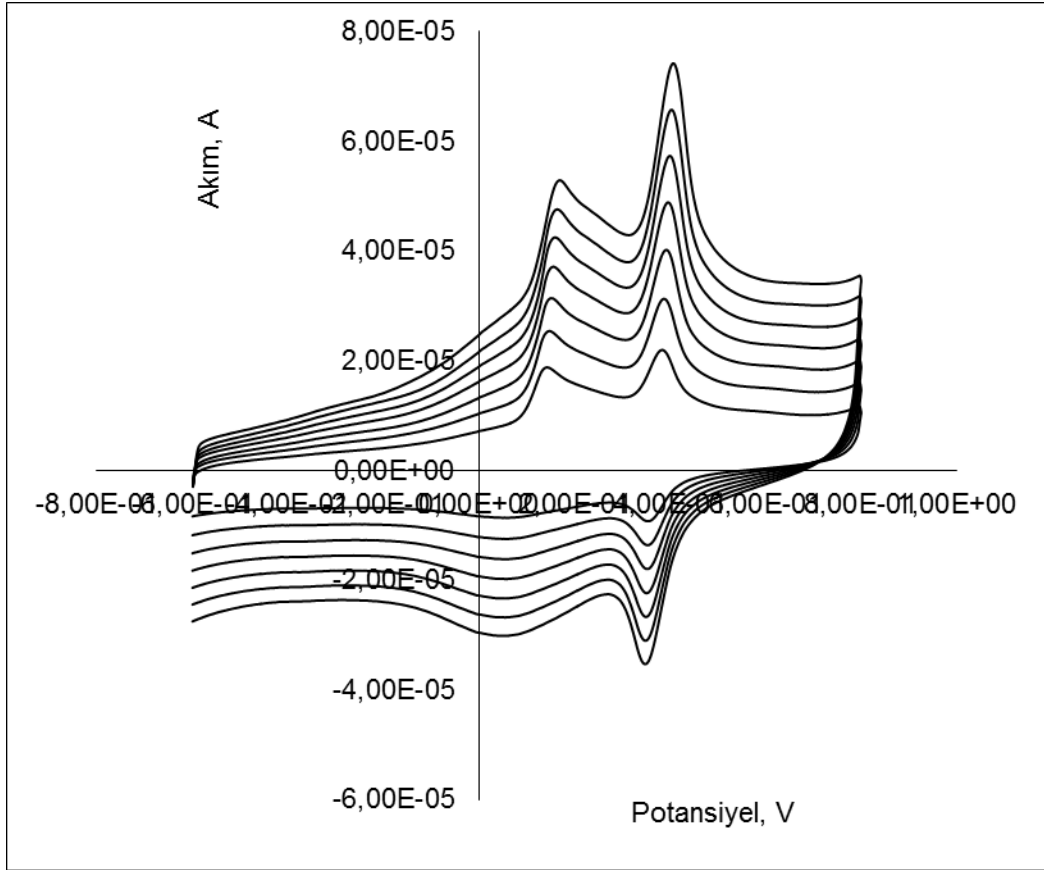
4.1.6. Sabit AA varlığında DA' nın poly (furan-3-karboksilik asit)/ CNTs/GCE yüzeyinde saptanması



Şekil 4.7. 0.1 M PBS ve pH 4.0' da poly (furan-3-karboksilik asit)/CNTs/ GCE yüzeyinde

5.0×10^{-5} M sabit AA konsantrasyonuna karşı DA' nın artan konsantrasyonlarına ait dönüşümlü voltamogramlar. DA konsantrasyonları; 2.9×10^{-6} M, 5.8×10^{-6} M, 8.7×10^{-6} M, 1.2×10^{-5} M, 1.5×10^{-5} M. Tarama hızı: 50 mV/ s. Denge zamanı: 5 s

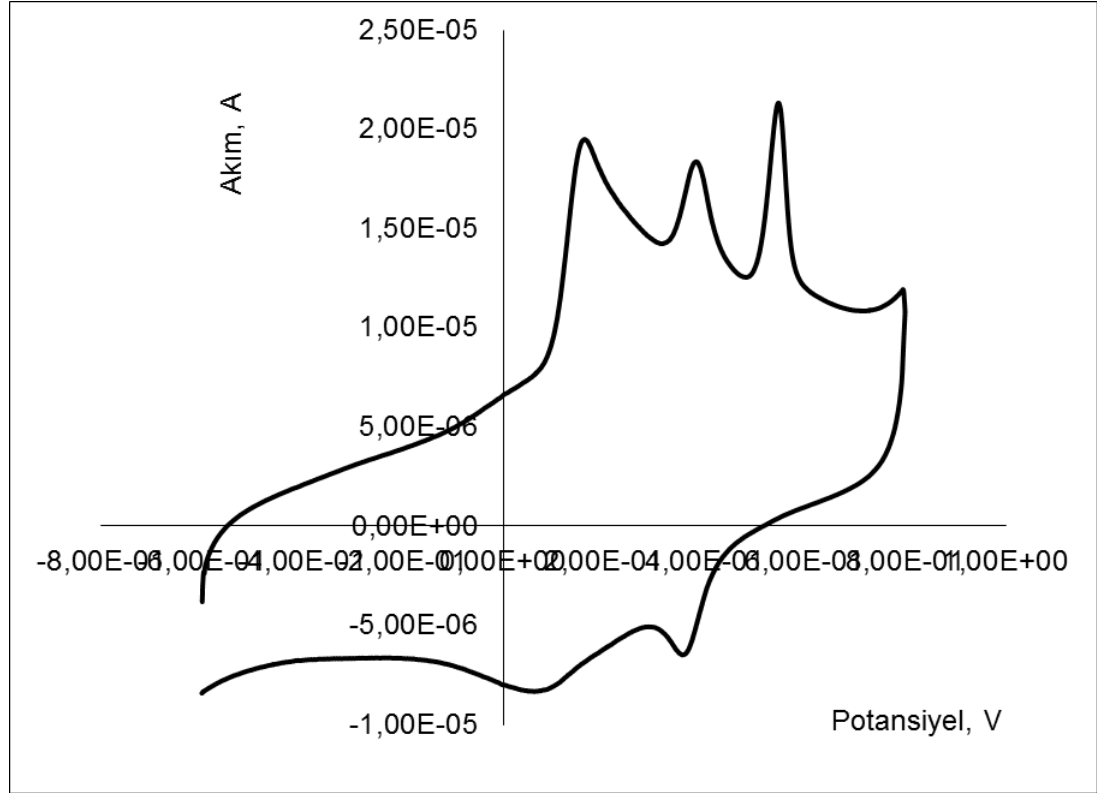
Şekil 4.7.' de pH 4.0, 0.1 M PBS içindeki 5.0×10^{-5} M sabit konsantrasyondaki AA varlığında, DA' nın 2.9×10^{-6} M' dan başlayarak artan konsantrasyonlarına ait dönüşümlü voltamogramları verilmiştir. Bu voltamogramlara baktığımızda AA' nın DA konsantrasyonundan 50 kat fazla olduğu ortamda dahi sabit konsantrasyondaki AA varlığında artan DA konsantrasyonlarına karşı, bu iki madde poly (furan-3-karboksilik asit)/ CNTs/GCE yüzeyinde girişim ve bozucu etki yapmamaktadır. Ayrıca AA' nın elektrokimyasal davranışının oldukça kararlı olduğu da yine her basamakta DA konsantrasyonu arttırılmasına rağmen pik akımının düşüş göstermemesinden de anlaşılmaktadır.



Şekil 4.8. 5.0×10^{-5} M AA ve 1.5×10^{-6} M DA'nın poly (furan-3-karboksilik asit)/CNTs/ GCE' de farklı tarama hızlarına ait dönüşümlü voltamogramları. Tarama hızları: (a) 50 mV/s (b) 75 mV/s (c) 100 mV/s (d) 125 mV/s (e) 150 mV/s (f) 200 mV/s. Denge zamanı: 5 s. pH 4.0. Destek elektrolit: 0.1 M PBS

Şekil 4.8.' de de poly (furan-3-karboksilik asit) ve karbon nanotüplerle modifiye edilmiş GCE yüzeyinde, AA ve DA karışımı içeren pH 4.0, 0.1 M PBS çözeltisinin farklı tarama hızlarındaki dönüşümlü voltamogramları verilmiştir. 50-200 mV/ s tarama hızı aralığında AA ve DA maddelerinin yükseltgenme piklerinde herhangi bir girişim gözlenmemiştir. Tarama hızının artmasıyla bu iki maddenin pik akımlarında artış gözlenmiştir.

4.1.7. DA' nın AA ve UA varlığında yalın GCE ve poly (furan-3-karboksilik asit)/ GCE yüzeyinde saptanması



Şekil 4.9. 5.0×10^{-5} M AA ve 1.5×10^{-6} M DA ve 7.5×10^{-5} M UA' nın yalın GCE , poly (furan-3-karboksilik asit)/ GCE yüzeyinde dönüşümlü voltamogramları.

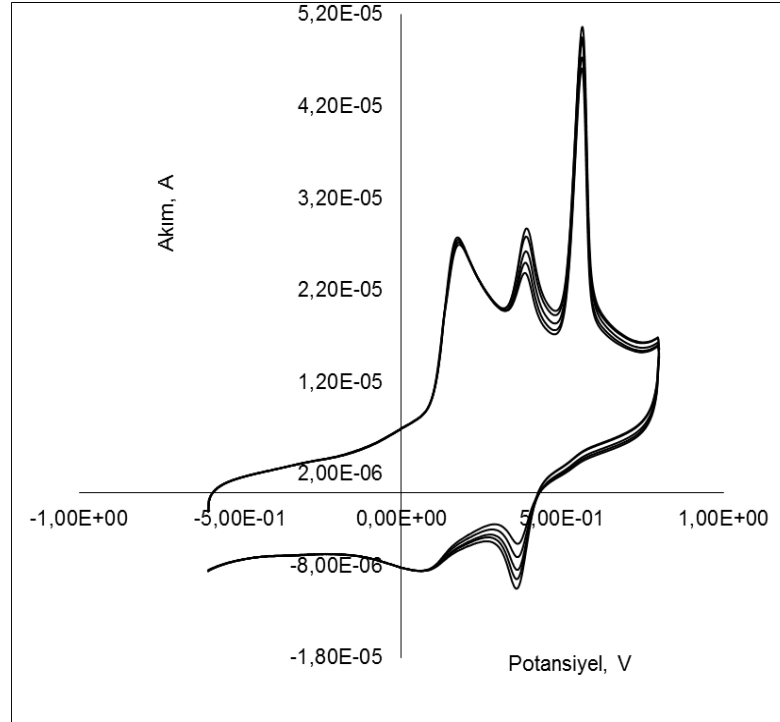
Destek elektrolit: 0.1 M PBS. pH 4.0. Denge zamanı: 5 s. Tarama hızı: 50 mV/s

Şekil 4.9.' da 1.4×10^{-6} M AA, 7.0×10^{-6} M UA ve 2.1×10^{-6} M DA karışımının pH 4.0, 0.1 M PBS' de yalın GCE ve poly (furan-3-karboksilik asit)/ CNTs/GCE yüzeyindeki dönüşümlü voltamogramları verilmiştir. Yalın GCE elektrot yüzeyinde şekildeki voltamogramda da görüldüğü gibi ortamda AA, DA ve UA gibi üç farklı madde bulunmasına rağmen 0.580 V' den daha büyük bir potansiyelde geniş, yayvan ve tek bir pik elde edilmiştir. Yalın GCE yüzeyinde bu üç madde birbirine yakın aşırı bir potansiyelde yükseltgenerek, birbirlerinin ayrılmasına mani olmuş ve birbirlerine girişim yaparak tek pik vermişlerdir. Bu da yalın elektrot yüzeyinde bu üç maddenin aynı anda saptanmasını imkansızlaştırmıştır. Oysa AA, DA ve UA' nın aynı ortamda eş zamanlı olarak saptanması hem elektrokimyacılar hem de biyokimyacılar açısından oldukça

önemlidir. Çünkü gerçek numunelerde bu maddeler saptanmak istenirse bu üç madde değişik konsantrasyonlarda bir arada bulunacaklarından, saptamayı olanaksız hale getirmektedirler. Bu amaç doğrultusunda modifiye ettiğimiz GCE hedeflerimize uygun olarak bize yalın elektrodun aksine birçok avantaj sağlamaktadır. Modifiye elektroda ait voltamograma baktığımızda ortamda bulunan üç farklı maddeye ait olan üç yükseltgenme piki görülmektedir. Poly (furan-3-karboksilik asit)/CNTs/GCE sistemi, askorbik asit, dopamin ve ürik asitin elektrokimyasal reaksiyonunda elektrokatalitik bir etki sağlayarak bu üç maddenin elektrokimyasal yükseltgenmelerinin gerçekleştiği pik potansiyellerini negatif yönde kaydırmış, yalın elektrotta oluşan aşırı potansiyeldeki yükseltgenmeleri önlemiştir. Böylece bu elektrokatalitik etki sayesinde daha hızlı bir elektron transferi gerçekleşerek ayrılma daha da iyi sağlanmıştır. Bu da modifiye edilen GCE' nin sağladığı çok önemli bir avantajdır.

4.1.8. Sabit AA ve UA konsantrasyonu varlığında DA' nın poly (furan-3-karboksilik asit)/ CNTs/GCE yüzeyinde saptanması

Şekil 4.10' da poly (furan-3-karboksilik asit) ve karbon nanotüplerle modifiye edilmiş GCE yüzeyinde, sabit AA ve UA konsantrasyonunda DA' nın artan konsantrasyonlarına ait kare dalga voltamogramları verilmiştir. Burada görüldüğü gibi sabit AA ve UA konsantrasyonlarında DA' nın artan konsantrasyonlarında AA ve UA' ya ait yükseltgenme piklerinde herhangi bir bozucu etki yoktur. Modifiye edilmiş GCE kullanılarak bu maddelerin saptanması kolaylıkla yapılmaktadır.



Şekil 4.10. Poly (furan-3-karboksilik asit)/ GCE yüzeyinde 5.0×10^{-5} M AA ve 7.5×10^{-5} M UA sabit konsantrasyonunda DA'nın artan konsantrasyonlarına ait kare dalga voltamogramları. pH 4.0. Destek elektrolit: 0.1 M PBS. Denge zamanı: 5 s. Frekans: 10 Hz. Step potential: 20 mV. Amplitude: 25 mV DA konsantrasyonları; 2.9×10^{-6} M, 5.8×10^{-6} M, 8.7×10^{-6} M, 1.2×10^{-5} M

4.1.9. Poly (furan-3-karboksilik asit)/ GCE'nin gerçek numunelerde analitik uygulaması

Önerilen yöntem ilaç örneklerinde DA'nın saptanmasına uygulandı. İlaç örnekleri 0.1 M PBS ile seyreltildi. DA içeren iğneler standart katma yöntemi ile analiz edilmiştir. Elde edilen sonuçlar Çizelge 4.2.' de verilmiştir. Buna göre, elde edilen sonuçlar hem ilaç örneklerindeki doz ile uyum halinde ve hem de İngiliz (British Pharmacopeia, 2000) ve Çin standart ilaç analiz (Pharmacopeia of China, 1995) yöntemleriyle karşılaştırılabilir olduğu görülmektedir. Önerilen yöntem ile ilaç örneğinde 6 farklı ölçüm için ortalama geri kazanım $\%98.1 \pm 1.9$ olarak elde edilmiştir. Bu sonuçlar, ayrıca daha önce bildirilen spektrofotometrik yöntem değerleri (ortalama geri kazanım $\%97.9$) (El-kammos, 1987) ve İngiliz standart susuz titrimetrik yöntem (ortalama geri kazanım $\%98.0$) değerleri ile uyum halindedir. Ayrıca, önerilen yöntem ile elde edilen sonuçlar aynı zamanda ortalama geri kazanımı $\%104.5$ olan Çin standart ilaç analiz yöntemiyle de karşılaştırılabilir.

Önerilen yöntem ile elde edilen ortalama %1.9' lık bağıl standart sapma (RSD) aynı zamanda daha önce literatürde DA tayini için kullanılan başka modifiye elektrotlar ile elde edilen %2.9 (Zhang ve ark., 2003) ve %2.6' lık (Zhao ve ark., 2001) bağıl standart sapma (RSD) değerleri ile de karşılaştırıldığında, önerilen yöntemin DA' nın saptanmasında kullanılabileceği görülmektedir.

Çizelge 4.2. Poly (furan-3-karboksilik asit)/ GCE sisteminin DA iğnelere uygulanması

	İçerik ($\times 10^{-3}$ mg/ml)	Bulunan ($\times 10^{-3}$ mg/ml)	Geri kazanım%	RSD%
Örnek	10	9.81 \pm 0.15	98.1	1.9

DA iğneleri 0.1 M PBS, pH 4.0 ile seyreltilmiştir.

Elde edilen sonuçlar 6 farklı ölçümün ortalamasıdır.

5. SONUÇLAR ve ÖNERİLER

5.1. Sonuçlar

Bu çalışmada, poly(furan-3-karboksilik asit) ve karbon nanotüpler kullanılarak hazırlanan bir elektrot sistemi, sinir iletimini sağlayan dopamin gibi biyolojik moleküllerin elektrokimyasal davranışları incelenmiş ve bu maddelerin biyolojik sıvılarda saptanmasını zorlaştıran AA ve UA gibi girişimci moleküller varlığında saptanmasına uygulanmıştır. Ayrıca bu modifiye elektrotlar, AA ve UA'nın elektrokimyasal davranışlarının incelenmesine de uygulanmıştır.

Camsı karbon elektrotlar, önce çok duvarlı karbon nanotüplerle modifiye edilmiş daha sonra ise furan-3-karboksilik asitin dönüşümlü voltametri kullanılarak elektropolimerizasyonu ile modifiye edilmiştir. Modifiye elektrotlar, bu biyolojik moleküllerin yükseltgenmesine mükemmel bir elektrokatalitik etki göstermiştir. Elde edilen modifiye elektrotlar aynı zamanda bu moleküllerin elektron transfer hızlarını da artırmıştır.

Yalın elektrotlar ile karşılaştırıldığında, modifiye edilmiş yüzeyde çalışıldığında, poly (furan-3-karboksilik asit)/ CNTs/GCE), askorbik asit, dopamin ve ürik asitin elektrokimyasal reaksiyonunda elektrokatalitik bir etki sağlayarak bu maddelerin yükseltgenmelerinin gerçekleştiği pik potansiyellerini negatif yönde kaydırmış, yalın elektrotta oluşan aşırı potansiyeldeki yükseltgenmeleri önlemiştir. Böylece aynı biyolojik ortamda farklı konsantrasyonlarda bulunan benzer elektrokimyasal özelliklere sahip bu maddelerin ayrı ayrı saptanmasına olanak sağlamıştır.

Poly (furan-3-karboksilik asit)/ CNTs/GCE sistemi, ilaç örneklerindeki DA'nın saptanmasına uygulandı. Elde edilen sonuçlar hem ilaç örneklerindeki doz ile uyumlu hem de İngiliz (Pharmacopeia, 2000) ve Çin standart ilaç analiz (Pharmacopeia of China, 1995) yöntemleriyle karşılaştırılabilir olduğu görülmektedir. Önerilen yöntem ile, ilaç örneğinde 6 farklı ölçüm için ortalama geri

kazanım 96.5 ± 0.15 olarak elde edilmiştir. Bu sonuçlar, ayrıca daha önce bildirilen spektrofotometrik yöntem değerleri (ortalama geri kazanım %97.9) (El-kammos, 1987) ve İngiliz standart susuz titrimetrik yöntem (ortalama geri kazanım %98.0) değerleri ile uyum halindedir. Ayrıca, önerilen yöntem ile elde edilen sonuçlar aynı zamanda ortalama geri kazanımı %104.5 olan Çin standart ilaç analiz yöntemiyle de karşılaştırılabilir. Önerilen yöntem ile elde edilen ortalama %1.86'lık bağıl standart sapma (RSD) aynı zamanda daha önce literatürde DA tayini için kullanılan başka modifiye elektrotlar ile elde edilen %2.96 (Zhang ve ark., 2003) ve %2.60'lık (Zhao ve ark., 2001) bağıl standart sapma (RSD) değerleri ile de karşılaştırıldığında, önerilen yöntemin DA'nın saptanmasında kullanılabileceği görülmektedir.

KAYNAKLAR

- ANDERSON, R. F., and HARRIS, T. A., 2003. Dopamin And Uric Acid Act As Antioxidants in Repair of DNA Radicals: Implications in Parkinson's Disease. *Free Radical Resin*, 37:1131-1136.
- ASLANOGLU, M., ABBASOGLU, S., KARABULUT, S., and KUTLUAY, A., 2007. Electrochemical Determination of Dopamine in the Presence of Ascorbic Acid Using a Poly(3-Acetylthiophene) Modified Glassy Carbon Electrode., *Acta Chim. Slov.*, 54: 834-839.
- BARANOWSKA, I., and ZYDRON, M., 2000. Quantitative Structure Retention Relationship (QSSR) of Biogenic Amine Neurotransmitter and their Metabolites on RP-18 Plates in Thin-layer Chromatography. *J. Plan. Chromatogr. Modern TLC.*, 16:102-6,
- BIELAVSKA, M., and KASSA, J., 2000. Simultaneous Determination of Dopamine, Serotonin and their Metabolites in Rat Brain by HPLC Method with Coulometric detection. *Coll. Czech. Chem. Commun.*, 65:1677-82.
- CHENG, F. C., SHIH, Y., LIANG Y. J., YANG, L. L., and YANG, C. S., 1996. New Dual Electrochemical Detector for Microbore Liquid Chromatography Determination of Dopamine and Serotonin in rat Striatum Dialysates. *J. Chromatogr. B: Biomed. Appl.*, 682: 195-200.
- CIOLKOWSKI, E. L., MANESS, K. M., CHAILL, P. S., WHIGHTMAN R. M., EVANS, D. H., FOSSET, B., and AMATORE, C., 1994. Disproportionation During Electrooxidation of Catecholamines at Carbon Fiber Microelectrodes. *Anal. Chem.*, 66: 3611-17.
- DAYTON, M. A., BROWN, J. C., STUTTS, K. J. and WIGHTMAN, R. M., 1980. Faradaic Electrochemistry at Microvoltametric Electrodes. *Analitic Chem.*, 52:946-950.
- EL-KOMMAS, M. E., 1987. Spectrophotometric Assay of Dopamine Hydrochloride Injection Using Thiosemicarbazide. *J. Pharm. Belg.*, 42:371-76.
- FANG, C., TANG, X., and ZHOU, X., 1999. Preparation of Poly (Malachite Green) Modified Electrode and the Determination of Dopamine and Ascorbic Acid. *Anal. Sci.*, 15: 41-6.
- FEI, J., WU, K., YI, L., and LI, J., 2005. Low Potential Amperometric Determination of Ascorbic Acid at a Single-Wall Carbon Nanotubes-Dihexadecyl Hydrogen Phosphate Composite Film Modified Electrode. *Bull. Korean Chem. Soc.*, 26:1403-9.
- FOTOPOULOU, M. A., and IOANNOU, P. C., 2002. Post-Column Terbium Complexation and Sensitized Fluorescence detection for the Determination of Norepinephrine, Epinephrine and Dopamine Using High-Performance Liquid Chromatography. *Anal.Chim. Acta*, 462:179-85.
- GOYAL, R. N., GUPTA, V. K., OYAMA, M., and BACHHETI, N., 2007. Gold Nanoparticles Modified Indium Tin Oxide Electrode for the Simultaneous Determination of Dopamine and Serotonin: Application in Pharmaceutical Formulations and Biological Fluids. *Talanta*, 72:976-83.

- GU, H., XU, Y., PENG, W., LI, G., and CHEN, H. Y., 2004. A Novel Method for Separating the Anodic Voltammetric Peaks of Dopamine and Ascorbic Acid. *Microchim. Acta*, 146:223-7.
- HAWLEY, M. D., TATAWAWADI, S. V., PIEKARSKI, S., and ADAMS, R. N., 1967. Electrochemical Studies of the Oxidation Pathways of Catecholamines. *J. Am. Chem. Soc.*, 89: 447-50.
- HSIEH, M. M., and CHANG, H. T., 2005. Discontinuous Electrolyte Systems for Improved Detection of Biologically Active Amines and Acids by Capillary Electrophoresis with Laser Induced Native Fluorescence Detection. *Electrophoresis*, 26:187-95.
- JIN, G. P., LIN, X. Q., and GONG, J. M., 2004. Novel Choline and Acetylcholine Modified Glassy Carbon Electrodes for Simultaneous Determination of Dopamine, Serotonin and Ascorbic Acid. *J. Electroanal. Chem.*, 569:135-42.
- KUMAR, S. S., MATHIYARASU, J., PHANI, K. L., JAIN, Y. K., and YEGNARAMAN, V., 2005. Determination of Uric Acid in the Presence of Ascorbic Acid Using Poly(3,4-Ethylenedioxythiophene) Modified Electrodes. *Electroanal.*, 17:2281-86.
- KUMAR, S. S., MATHIYARASU, J., PHANI, K. L. N., and YEGNARAMAN, V., 2006. Simultaneous Determination of Dopamine and Ascorbic Acid on Poly (3,4-ethylenedioxythiophene) Modified Glassy Carbon Electrode. *J. Sol. State Electrochem.*, 10:905-13.
- LEMA, M., OTERO, J., and MARCO, J., 1991. 2-Parameter Mobile Phase Optimization for the Simultaneous High Performance Liquid-Chromatographic Determination of Dopamine, Serotonin and Related Compounds in Microdissected Rat-Brain Nuclei. *J. Chromatogr.*, 547:113–20.
- LI, C. X., ZENG, Y. L., LIU, Y. J., and TANG, C. R., 2006. Simultaneous Electrochemical Determination of Uric Acid and Ascorbic Acid on a Glassy Carbon Electrode Modified with Cobalt(III) Tetrakisphenylporphyrin. *Anal. Sci.*, 22:393-7.
- LIN, H., GAN, T., and WU, K., 2008. Sensitive and Rapid Determination of Catechol in Tea Samples Using Mesoporous Al-doped Silica Modified Electrode. *Food Chem.*, In pres.
- NAGARAJA, P., VASANTHA, R. A., and SUNITHA, K. R., 2001. A Sensitive and Selective Spectrophotometric Estimation of Catechol Derivatives in Pharmaceutical Preparations. *Talanta*, 55:1039-46.
- NIU, L. M., LUO, H. Q., and LI, N. B., 2005. Electrochemical Behaviour of Epinephrine at a Penicillamine Self-Assembled Gold Electrode and Its Analytical Applications. *Microchim. Acta*, 150:87-93.
- OHNUKI, Y., OHSAKA, T., MATSUDA, H., and OYAMA, N., 1983. Permselectivity of Films Prepared by Electrochemical Oxidation of Phenol and Amino-Aromatic Compounds. *J. Electroanal. Chem.*, 158:55-67.
- OWENS, J. L., MARSH, H. A., and DRYHURST, G., 1978. Electrochemical Oxidation of Uric Acid and Xantine: An Investigation by Cyclic Voltammetry, Double Potential Step Chronoamperometry and Thin Layer Spectroelectrochemistry. *J. Electroanal. Chem.*, 91:231-47.

- RAJ, C. R., KITAMURA, F., and OHSAKA, T., 2002. Square Wave Voltammetric Sensing of Uric Acid Using the Self-Assembly of Mercaptobenzimidazole. *Analyst*, 9:1155-58.
- RAJ, C. R., OKAJIMA, T., and OHSAKA, T., 2003. Gold Nanoparticle Arrays for the Voltammetric Sensing of Dopamine. *J. Electroanal. Chem.*, 543:127-33.
- ROY, P. R., OKAJIMA, T., and OHSAKA, T., 2003. Simultaneous Electroanalysis of Dopamine and Ascorbic Acid Using Poly (N,N-Dimethylaniline)-Modified Electrodes. *Bioelectrochem.*, 59:11-9.
- ROY, P.R., OKAJIMA, T., and OHSAKA, T., 2004. Simultaneous Electrochemical Detection of Uric Acid and Ascorbic Acid at a Poly(N;N-dimethylaniline) Film-Coated GC Electrode. *J. Electroanal. Chem.*, 561: 75-82.
- SALEM, F. B., 1993. Spectrophotometric and Fluorometric Determination of Catecholamines. *Anal. Lett.* 26:281-94.
- SELVARAJU, T., and RAMARAJ, R., 2003. Simultaneous Determination of Dopamine and Serotonin in the Presence of Ascorbic Acid and Uric Acid at Poly(O-phenylenediamine) Modified Electrode. *J. Appl. Electrochem.*, 33:759-62.
- SELVARAJU, T., and RAMARAJ, R., 2003. Simultaneous Determination of Ascorbic Acid, Dopamine and Serotonin at Poly(phenosafranine) Modified Electrode. *Electrochem. Commun.*, 5:667-72.
- SUN, Y. X., YE, B. X., ZHANG, W. M., and ZHOU, X. Y., 1998. Simultaneous Determination of Dopamine and Ascorbic Acid at Poly(neutral red) Modified Electrode. *Anal. Chim. Acta*, 363:75-80.
- SUN, W., LI, Y., YANG, M., LI, J., and JIAO, K., 2008. Application of carbon ionic liquid electrode for the electrooxidative determination of catechol. *Sensors and Actuators B*, 133:387-92.
- WANG, Q., JIANG, N., and LI, N. Q., 2001. Electrocatalytic Response of Dopamine at a Thiolaetic Acid Self- Assembled Gold Electrode. *Microchem. J.*, 68:77-85.
- WANG, H. S., LI, T. H., JIA, W. L., and XU, H. Y., 2006. Highly Selective and Sensitive Determination of Dopamine Using a Nafion/Carbon Nanotubes Coated Poly(3-Methylthiophene) Modified Electrode. *Biosens. Bioelectron.*, 22:664-69.
- WANG, Q., DONG, D., and LI, N. Q., 2001. Electrochemical Response of Dopamine at a Penicillamine Self-Assembled Gold Electrode. *Bioelectrochemistry*, 54:169-75.
- WIGHTMAN, R. M., MAY, L. J., and MICHAEL, A. C., 1988. Detection of Dopamine Dynamics in the Brain. *Anal. Chem.*, 60:769A-79A.
- YOSHITAKE, T., KEHR, J., TODOROKI, K., NOHTA, H., and YAMAGUCHI M., 2006. Derivatization Chemistries for Determination of Serotonin, Norepinephrine and Dopamine in Brain Microdialysis Samples by Liquid Chromatography with Fluorescence Detection. *Biomed. Chromatogr.*, 20:267-81.
- ZEN, J. M., HSU, C. T., HSU, Y. L., SUE, J. W., and CONTE, E. D., 2004. Voltammetric Peak Separation of Dopamine from Uric Acid in the

- Presence of Ascorbic Acid at Greater than Ambient Solution Temperature, *Anal. Chem.*, 76: 4251-55.
- ZEN, J. M., ILANGO VAN, G., and JOU, J. J., 1999. Square-Wave Voltammetric Determination and ac Impedance Study of Dopamine on Preanodized Perfluorosulfonated Ionomer-Coated Glassy Carbon Electrodes. *Anal. Chem.*, 71:2797-805.
- ZHANG, L., and LIN, X. Q., 2001. Covalent Modification of Glassy Carbon Electrode with Glutamic Acid for Simultaneous Determination of Uric Acid and Ascorbic Acid. *Analyst*, 126:367-70.
- ZHANG, W., HE, L., GU, Y., LIU, X., and JIANG, S., 2003. Effect of Ionic Liquids as Mobile Phase Additives on Retention of Catecholamines in Reversed-Phase High Performance Liquid Chromatography. *Anal. Lett.*, 36:827-38.
- ZHANG, Y., JIN, G., WANG, Y., and YANG, Z., 2003. Determination of Dopamine in the Presence of Ascorbic Acid Using Poly(acridine red) Modified Glassy Carbon Electrode. *Sensors*, 3:443-50.
- ZHAO, H., ZHANG, Y. Z., and YUAN, Z. B., 2001. Study On The Electrochemical Behavior of Dopamine with Poly(Sulfosalicylic Acid) Modified Glassy Carbon Electrode. *Anal. Chim. Acta*, 441:117-22.
- ZHAO, H., ZHANG, Y., and YUAN, Z., 2001. Electrochemical Determination of Dopamine Using a Poly(2- Picolinic Acid) Modified Glassy Carbon Electrode. *Analyst*, 126:358-60.
- ZHAO, Y., BAI, J., WANG, L., XUHONG, E., HUANG, P., WANG, H., and ZHANG, L., 2006. Simultaneous Electrochemical Determination of Uric Acid and Ascorbic Acid Using L-Cysteine Self-Assembled Gold Electrode. *Int. J. Electrochem. Sci.*, 1:363-71.

ÖZGEÇMİŞ

1984 tarihinde Şanlıurfa'da doğdu. İlköğrenimini Şanlıurfa' da Vatan İlköğretim Okulu' nda tamamladı. 1995-2002 yılları arasında Şanlıurfa Anadolu Lisesi' nde ortaöğrenimini tamamladı. 2003 yılı Haziran ayında Harran Üniversitesi Fen Edebiyat Fakültesi Kimya Bölümü' nü kazandı ve 2008 Haziran ayında aynı bölümden mezun oldu. 2008-2009 Bahar döneminde Harran Üniversitesi Fen Bilimleri Enstitüsü Kimya Anabilim Dalında Yüksek Lisansa başladı.

ÖZET

Bu çalışmada, camsı karbon elektrotlar önce çok duvarlı karbon nanotüplerle daha sonra ise poly(furan-3-karboksilik asit) ise furan-3-karboksilik asitin pH 7.2, 0.1 M KCl çözeltisinde dönüşümlü voltametri kullanılarak modifiye edildi. Çok duvarlı karbon nanotüpler ve poly (furan-3-karboksilik asit) ile modifiye edilen camsı karbon elektrot askorbik asit ve ürik asit varlığında dopaminin yükseltgenmesinde mükemmel bir elektrokatalitik etki gösterdi. Poly(furan-3-karboksilik asit)/CNTs/GCE yüzeyinde DA' nın pik akımı $1.0 \times 10^{-6} \text{ M}$ - $1.0 \times 10^{-4} \text{ M}$ konsantrasyon aralığında doğru orantılı olarak artmaktadır ve DA' nın saptama limiti $3.8 \times 10^{-8} \text{ M}$ ' dir. Modifiye elektrot sistemleri, ilaç örneklerine başarıyla uygulandı. Modifiye elektrotlar, mükemmel bir hassasiyet ve kararlılığa sahiptir. Sonuçlar açıkça gösteriyor ki, önerilen metodlar, güvenilir, tekrarlanabilir ve hızlıdır.

SUMMARY

In this study, glassy carbon electrodes (GCE) were first modified with multi-walled carbon nanotubes then poly(furan-3-carboxylic acid) using the electropolymerization of furan-3-carboxylic acid in 0.1 M KCl at pH 7.2 solution by cyclic voltammetry. The poly(furan-3-carboxylic acid) modified electrode showed an excellent electrocatalytic effect on the oxidation of dopamine (DA), ascorbic acid (AA) and uric acid(UA). Multiwalled carbon nanotubes and poly(furan-3-carboxylic acid) modified electrodes showed an excellent electrocatalytic effect towards the oxidation of dopamine in the presence of ascorbic acid and uric acid. The peak current increased linearly with the concentration of DA in the range of 1.0×10^{-6} M - 1.0×10^{-4} M with a detection limit of 3.8×10^{-8} M at the surface of the poly(3-carboxylic acid)/CNTs/GCE. The modified electrode systems have successfully been applied to the pharmaceutical formulations. The modified electrodes have excellent stability and sensitivity. The experimental results clearly indicate that the proposed methods are reliable, reproducible and rapid.